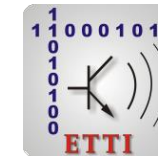


LAPI – Laboratorul de  
Analiza și Prelucrarea  
Imaginiilor



Universitatea  
POLITEHNICA din  
București



Facultatea de Electronică,  
Telecomunicații și  
Tehnologia Informației

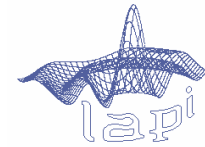
# Interfață Vizuală Om-Mașină

## Analiza și recunoașterea gesturilor

**Dr.ing. Ionuț Mironică**

<http://ionut.mironica.ro>





# Cuprins curs

- Modelarea gesturilor
  - Psihologia gesturilor
- Modelarea gesturilor mâinii
  - Algoritmi de detecție
  - Algoritmi pentru urmărirea traectoriei
  - Clasificarea gesturilor

# I. Modelarea gesturilor

Definiție: "Mișcare a mâinii, a capului etc. care exprimă o idee, un sentiment, o intenție, înlocuind uneori vorbele sau dând mai multă expresivitate vorbirii" – (sursă: DEX).

## Model:

- inițial gestul este un *concept* mental, posibil legat de vorbire;
- este exprimat cu ajutorul *mișcării corpului*;
- imaginile gestului sunt percepute de observator și sunt interpretate.

**Scop:** Într-un mediu controlat de sisteme de calcul, se dorește folosirea gesturilor pentru a realiza sarcini ("tasks"), îmbinând atât folosirea naturală a gesturilor de manipulare cât și comunicarea informației între om și mașină.

# I. Modelarea gesturilor

## Psihologia gesturilor

[C. Darwin 1872]

- Gesturile și emoțiile sunt bazate biologic și se adaptează în funcție de evoluție;
- Toți oamenii exprimă emoțiile primare în același mod (acestea sunt universale);
- Expresiile faciale oferă informații despre emoțiile trăite de către oameni.

[I. Pavlov 1930]

Gesturile sunt de două tipuri:

- *gesturi necondiționate* (generate de către reflexe necondiționate),
- *gesturi condiționate*.

# I. Modelarea gesturilor

## Psihologia gesturilor

[Paul Ekman '72]

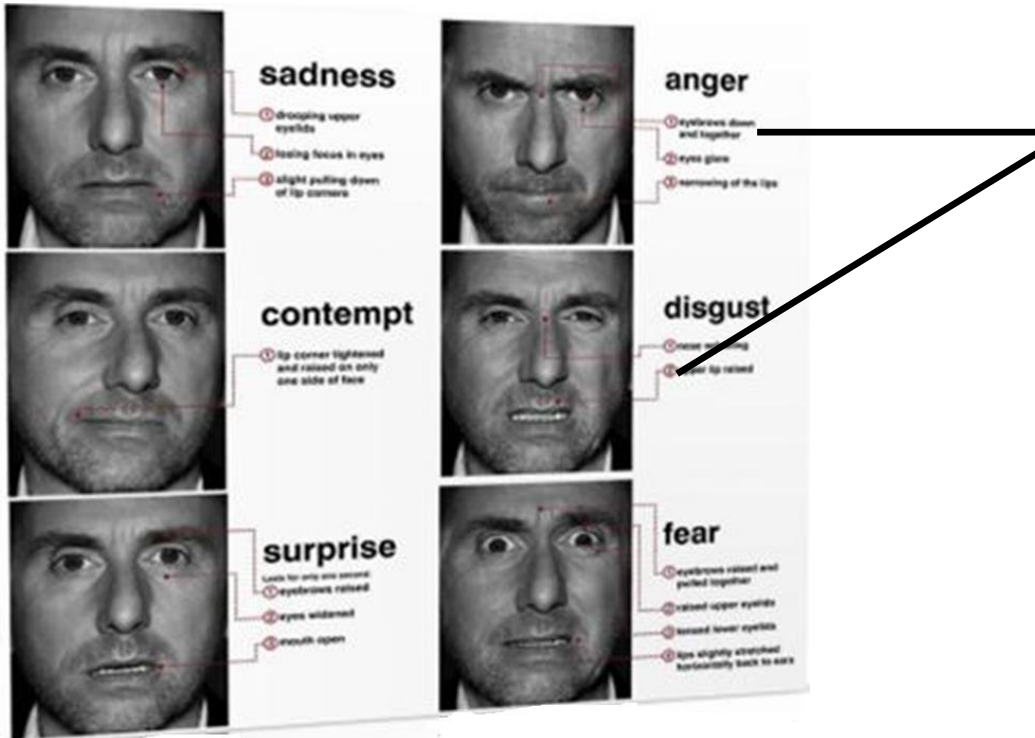
- A demonstrat experimental teoria lui Darwin conform căreia reflexele necondiționate sunt universale;
- Fiecare emoție universală este semnalată de către expresii universale, care au semnături psihologice discrete în sistemul central nervos;
- Testele au fost efectuate pe civilizații est asiatici, europene și indoneziene;
- Emoțiile ajută indivizii să răspundă la stimulii emoționali prin pregătirea corpului să se angajeze într-o activitate (ex: fear-flee; anger-fight)

# I. Modelarea gesturilor

## Psihologia gesturilor

[Paul Ekman '72]

- A demonstrat experimental teoria lui Darwin conform căreia reflexele necondiționate sunt universale;



Microexpresii (detecție de minciuni și emoții)

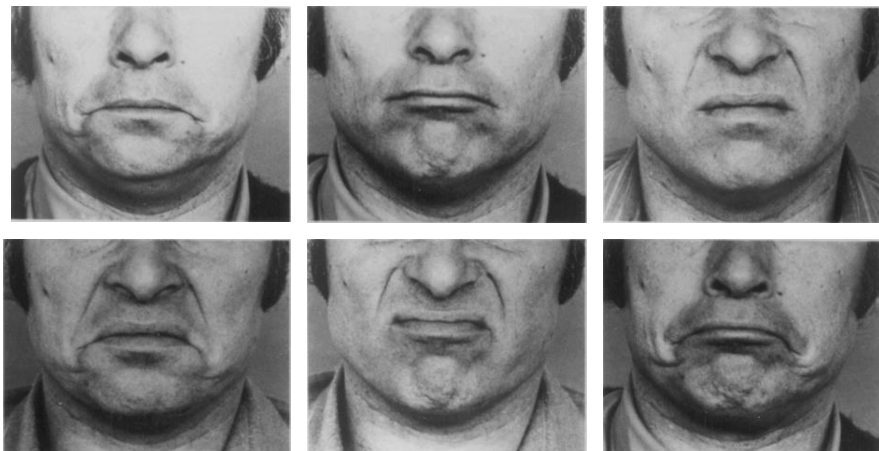
# I. Modelarea gesturilor

## Psihologia gesturilor

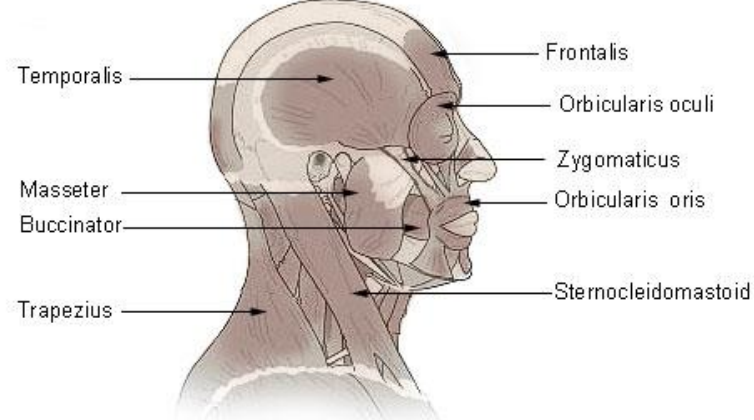
[Ekman &  
Friesen '78]

Facial Action Coding System (FACS) – clasifică toate expresiile faciale și umane:

- 48 de descriptori (reprezintă contracții sau relaxări ale unor mușchi sau grupe de mușchi);
- <http://www.cs.cmu.edu/afs/cs/project/face/www/facs.htm>



**Muscles of the Head and Neck**



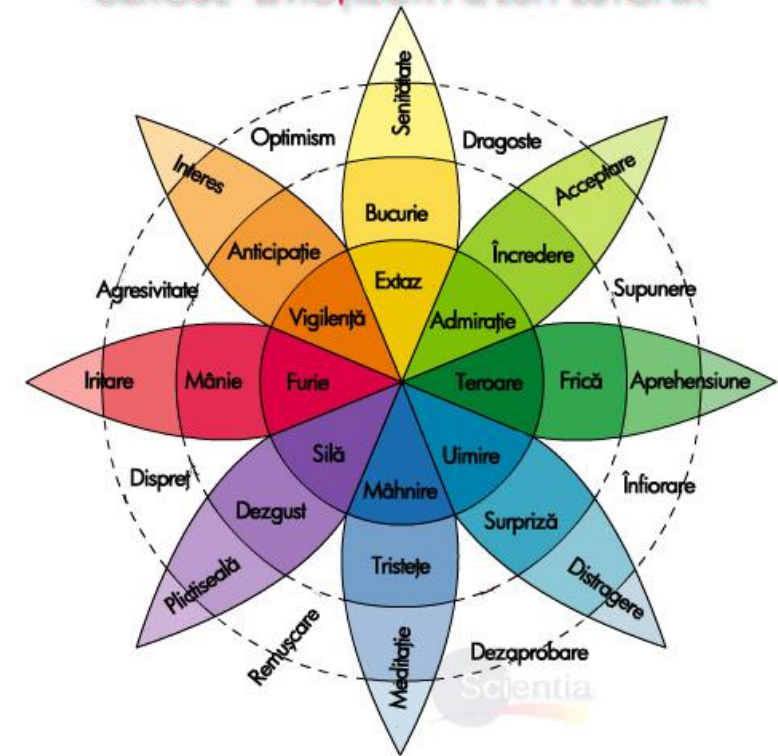
# I. Modelarea gesturilor

## Psihologia gesturilor

Robert Plutchik a creat în 1980 "cercul emoțiilor", care constă din 8 emoții fundamentale și 8 emoții complexe, formate din câte două emoții fundamentale.

Emoții fundamentale	Emoții opuse
Bucurie	Tristețe
Încredere	Dezgust
Frică	Mânie
Supriză	Anticipație
Tristețe	Bucurie
Dezgust	Încredere
Mânie	Frică
Anticipație	Surpriză

"CERCUL" EMOTIILOR AL LUI PLUTCHIK



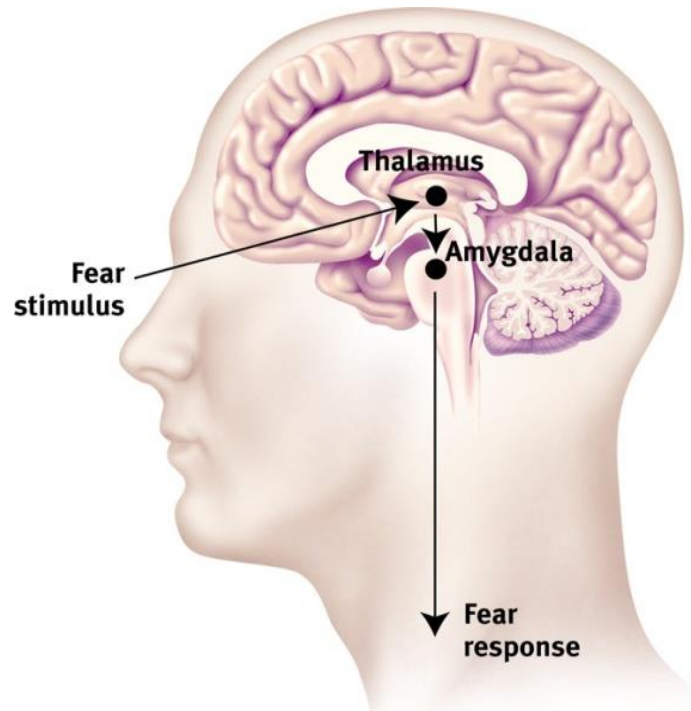
[Plutchik '80]

# I. Modelarea gesturilor

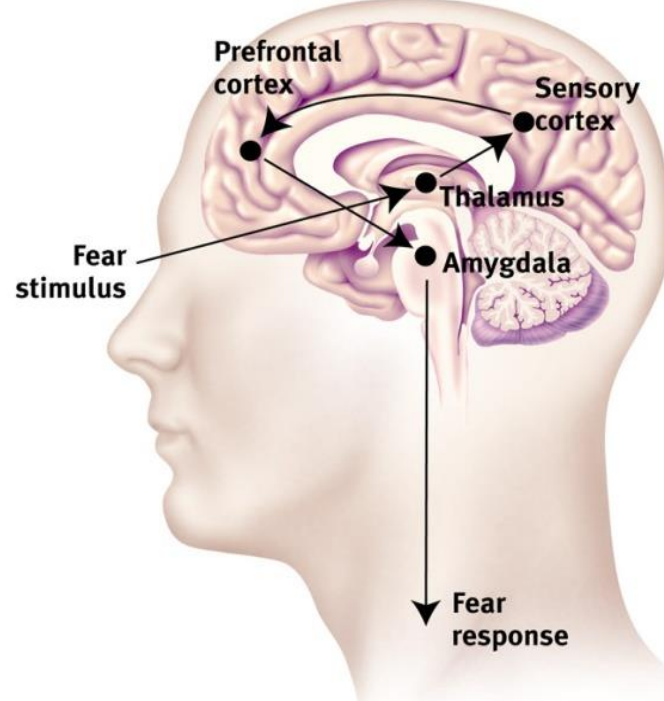
## Psihologia gesturilor

[Berridge & Winkeilman 2003]

Emoțiile pot fi controlate atât prin amigdala cerebrală cât și prin cortexul prefrontal;



(a) The speedy low road



(b) The thinking high road

# I. Modelarea gesturilor

## Psihologia gesturilor



Ce reprezintă pentru voi?

Grecia: o insultă (încă din momente antice)  
Africa de Vest: „Ai cinci tați!” – o insultă



Australia: depinde de tine

Germania: Numărul unu

Japonia: numărul cinci

Arabia Saudită: câștig

Ghana: insultă

Malaysia: degetul este utilizat pentru a arăta

# I. Modelarea gesturilor

## Psihologia gesturilor



Ce reprezintă pentru voi?

Franța: „Ești zero pentru mine”

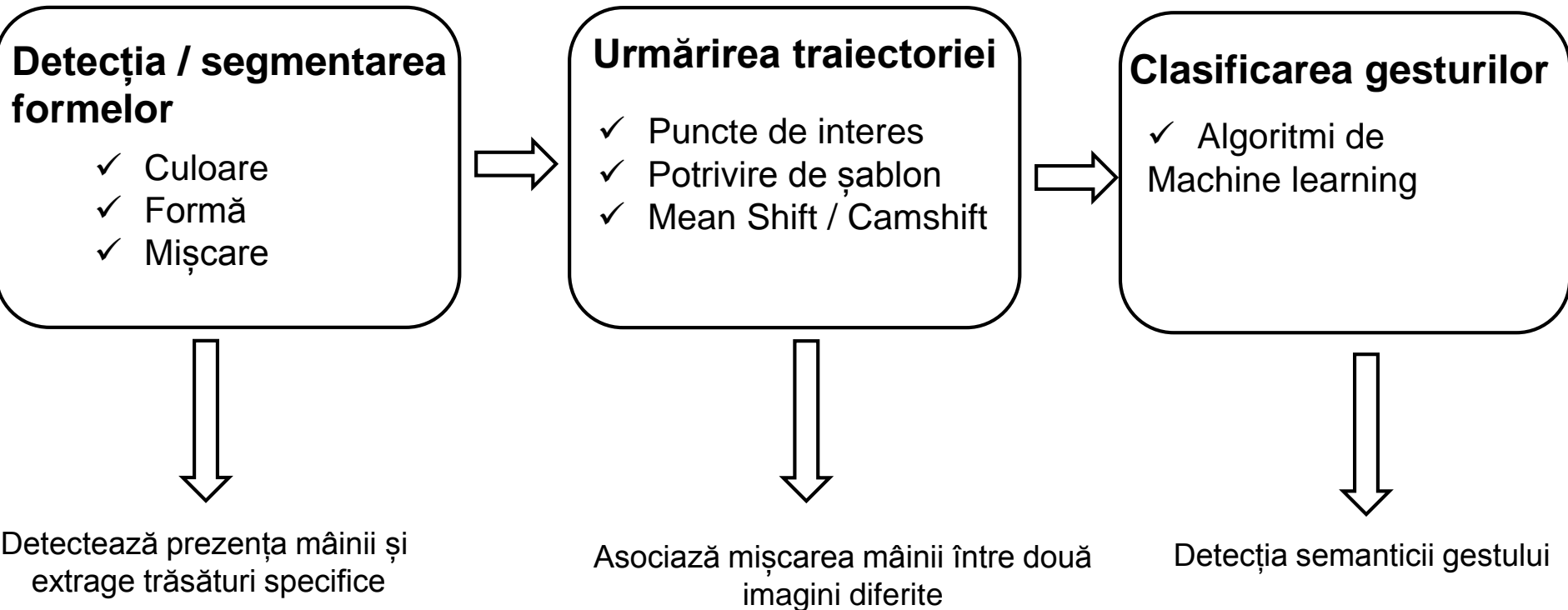
Japonia: „Te rog sa îmi dai o monedă”

Brazilia: gest obscen

Țări mediteraneene: gest obscen

# I. Modelarea gesturilor

## Componentele unui sistem de recunoaștere



# I. Modelarea gesturilor

## Componentele unui sistem de recunoaștere



"The difference between art and science is that science is what we understand well enough to explain to a computer. Art is everything else."

Donald Knuth

## II. Detectia formelor

- Detectia mainii după culoarea pielii
- Detectia și clasificarea formelor
- Detectia obiectelor prin utilizarea informației de mișcare

# **Detectia după culoarea pielii**

## **II. Detectia formelor**

### **Detectia mainii dupa culoarea pielii**

#### **Metode bazate pe pixel**

- Clasificarea fiecarui pixel ca fiind piele sau non-piele, independent de vecinii lui;
- În aceasta categorie intră metodele bazate pe culoare.

#### **Metode bazate pe regiuni**

- Iau în calcul și distribuția spatială a pixelilor de piele pentru performanțe îmbunătățite;
- Necesară informații suplimentare referitoare la textura pielii sau la orice alt atribut spațial.

**[M. Ciuc]**

## II. Detectia formelor

### Detectia mainii dupa culoarea pielii

#### Avantaje:

- Rapide (mai ales cele pixel-based);
- Robuste la variatii geometrice ale zonelor de piele (rotatie, factor de scală etc);
- Robuste la ocluziuni parțiale;
- Robuste la schimbări de rezoluție;
- Simplifică algoritmii de urmărire în aplicații video;
- Sunt naturale: pielea umană are o culoare caracteristică, ușor de recunoscut de către creierul uman.

[M.Ciuc]

## II. Detectia formelor

### Detectia mainii dupa culoarea pielii

**Dezavantaje:**

- Mai multe parți componente ale corpului cu piele se suprapun;
- Fundalul are o culoare asemănătoare cu cea a pielii.



## II. Detectia formelor

### Detectia mainii dupa culoarea pielii

Exemplu sistem:



[Chang Liu 2006]

## II. Detectia formelor

### Detectia mainii dupa culoarea pielii

#### Exemplu sistem:

- Nuanțele de culoare a pielii sunt între roșu și galben
- Au folosit o metodă pixel-based de detectie a culorii pielii: au utilizat spațiile de culoare YUV și YIQ, regiunile de piele fiind delimitate în modul următor:
  - $30 \leq I \leq 100$
  - $105^\circ \leq Q \leq 150^\circ$
- Apoi gestul este clasificat cu un algoritm the pattern matching.

Relație transformare din RGB în YIQ

$$\begin{bmatrix} Y \\ I \\ Q \end{bmatrix} = \begin{bmatrix} 0.299 & 0.587 & 0.114 \\ 0.596 & -0.274 & -0.322 \\ 0.211 & -0.523 & 0.312 \end{bmatrix} \begin{bmatrix} R \\ G \\ B \end{bmatrix}$$

[Chang Liu 2006]

## II. Detectia formelor

### Detectia mainii dupa culoarea pielii

#### Exemplu sistem:

- Televizor comandat cu ajutorul gesturilor;
- Utilizeaza gesturile pentru a controla televizorul fara ajutorul unei telecomenzi;
- Mana nu trebuie sa fie partea predominantă din imagine;
- Utilizeaza spatiul de culoare Lab.



[Freeman 94]

## II. Detectia formelor

### Detectia mainii dupa culoarea pielii

Exemplu sistem

**Antrenare culoare a pielii:**

Cu imagini pe diferite luminozitati



**Detectie contur mană**



**Detectia degetelor**



**Pattern matching**



[Freeman 94]

## II. Detectia formelor

### Detectia mainii dupa culoarea pielii

#### Exemplu sistem:

- Un set mic de gesturi intuitive pentru a controla televizorul
- Televizorul arata feedback pentru ca utilizatorul sa vadă dacă comanda a fost înțeleasă.
- Probleme cu:
  - Situații cu luminozitate scăzută
  - Unghiul camerei
  - Configurarea camerei web
  - Timpul de răspuns
  - Acuratețe

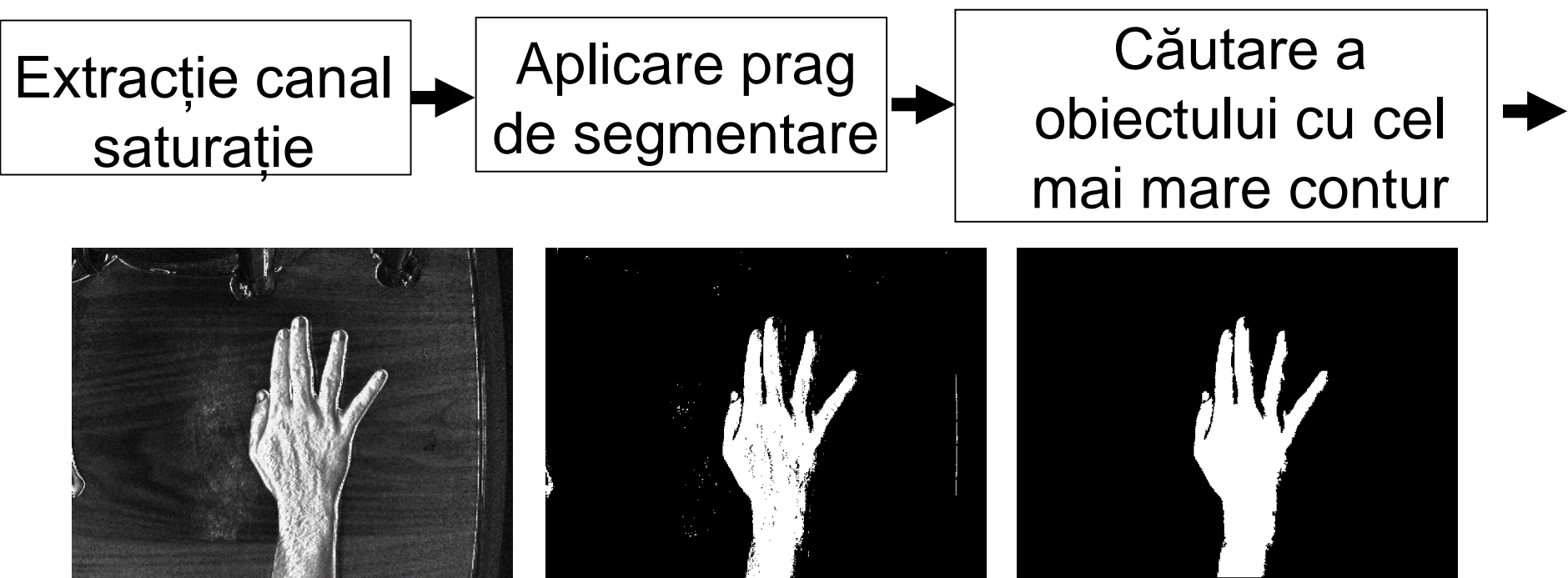


[Freeman 94]

## II. Detectia formelor

### Detectia mainii dupa culoarea pielii

Exemplu sistem



[Joshua R. New]

## II. Detectia formelor

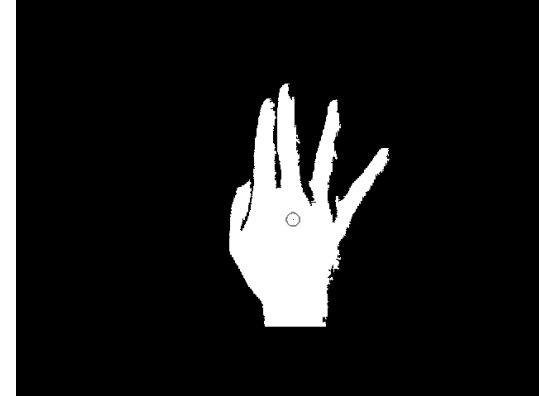
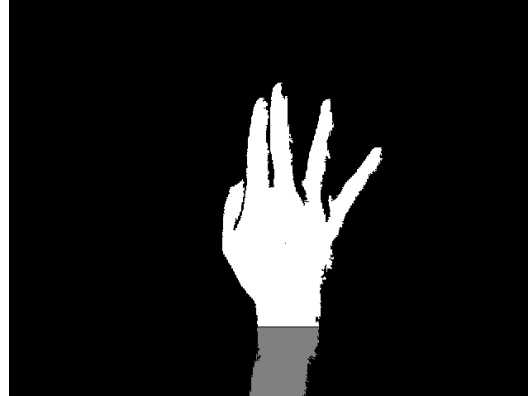
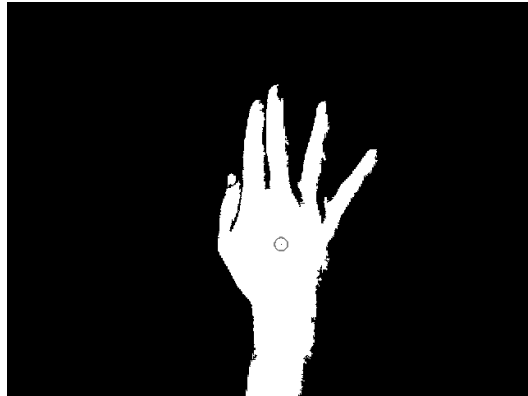
### Detectia mainii dupa culoarea pielii

Exemplu sistem

Calcul  
centroid

Segmentare  
palmă din mâna

Recalculare  
centroid



[Joshua R. New]

# **Detectia formelor**

## II. Detectia formelor

### Detectia mainii dupa forma

- În principiu aceste metode presupun că fundalul imaginii este uniform și se deosebește de restul obiectelor;
- Așadar este posibilă segmentarea imaginii și preluarea unei liste de forme care sunt eligibile să fie mâini;
- Din lista de forme se selectează doar cele care reprezintă o mână.



## II. Detectia formelor

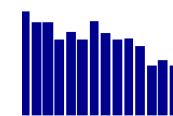
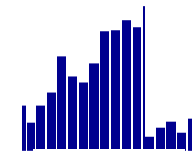
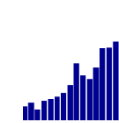
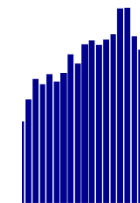
### Detectia mainii dupa forma



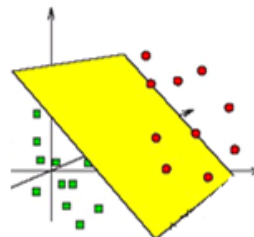
Preluarea imaginii



Segmentarea imaginii



Decizie



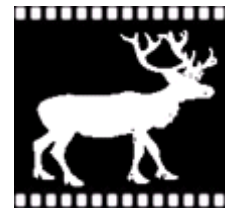
Clasificare

Extragere trasaturi

## II. Detectia formelor

### Recunoasterea de forme

- Forma este una dintre componentele esențiale în procesul de recunoaștere și clasificare a obiectelor;
- Aceasta reprezintă descrierea geometrică a unui obiect prin determinarea frontierelor acestuia față de obiectele din jur;
- Principalele caracteristici pe care descriptorii de formă trebuie să le conțină sunt:
  - ✓ caracterul compact (descriptorii trebuie să extragă trăsăturile relevante și definitorii),
  - ✓ invarianța la scalare, rotație, translație și la distorsiuni ale formei conturului.



## **II. Detectia formelor**

### **Recunoasterea de forme**

**Algoritmi bazați pe descrierea regiunilor:**

- momente geometrice,
- momente Hu,
- momente Legendre,
- momente Zernike,
- momente pseudo-Zernike.



**Descriptori bazați pe descrierea conturului:**

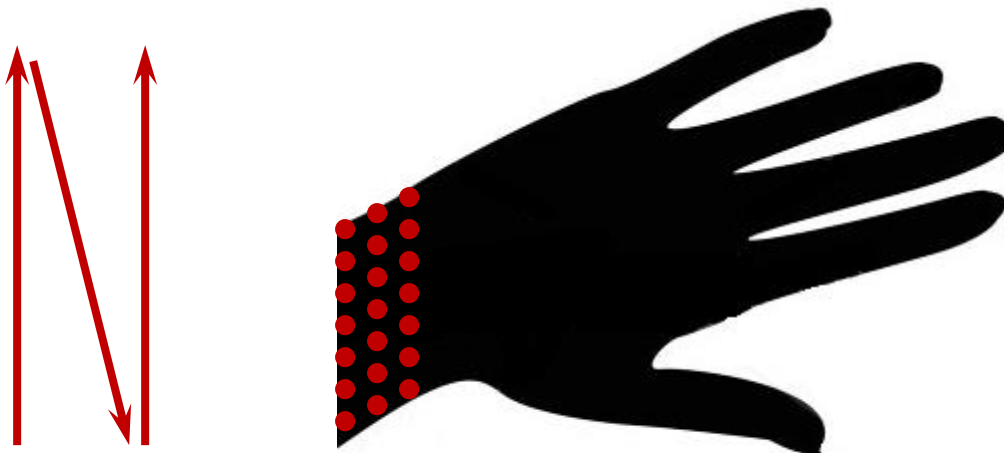
- descriptori Fourier de contur,
- aproximare poligonală.

## II. Detectia formelor

### Recunoasterea de forme

#### Algoritmi bazați pe descrierea regiunilor

- Se binarizează imaginea;
- Se iau în considerare toți pixelii din regiune;
- Regiunea se parcurge de la stânga la dreapta (pixel cu pixel);
- Fiecare pixel va avea un aport în formula finală.



## II. Detectia formelor

### Recunoasterea de forme

#### Momente geometrice

- pentru descrierea formelor, au fost propuse momentele spațiale (geometrice). Pentru o imagine binarizată, momentul spațial de ordin  $(m,n)$  este definit de formula:

$$M(m,n) = \sum_{j=1}^J \sum_{k=1}^K (x_k)^m (y_j)^n I(j,k)$$

unde  $I_{j,k}$  este imaginea binarizată (0 pentru obiect și 1 pentru fond),  $J$  și  $K$  reprezintă numărul de linii și de coloane ale imaginii, iar  $x$  și  $y$  reprezintă coordonatele.

[M. K. Hu '62]

## II. Detectia formelor

### Recunoasterea de forme

#### Momente geometrice centrate

- Momentele spațiale au performanțe foarte slabe, deoarece sunt foarte sensibile la translație.
- Din acest motiv s-au definit momentele centrate:

$$M_U(m, n) = \sum_{j=1}^J \sum_{k=1}^K (x_k - \bar{x}_k)^m (y_j - y_k)^n I(j, k)$$

[M. K. Hu '62]

## II. Detectia formelor

### Recunoasterea de forme

#### Momente geometrice centrate

$$\mu_{00} = M_{00},$$

$$\mu_{11} = M_{11} - \bar{x}M_{01} = M_{11} - \bar{y}M_{10},$$

$$\mu_{20} = M_{20} - \bar{x}M_{10},$$

$$\mu_{02} = M_{02} - \bar{y}M_{01},$$

$$\mu_{21} = M_{21} - 2\bar{x}M_{11} - \bar{y}M_{20} + 2\bar{x}^2M_{01},$$

$$\mu_{12} = M_{12} - 2\bar{y}M_{11} - \bar{x}M_{02} + 2\bar{y}^2M_{10},$$

$$\mu_{30} = M_{30} - 3\bar{x}M_{20} + 2\bar{x}^2M_{10},$$

$$\mu_{03} = M_{03} - 3\bar{y}M_{02} + 2\bar{y}^2M_{01}.$$

Acestea însă nu sunt invariante la mișcările de rotație și scalare.

[M. K. Hu '62]

## II. Detectia formelor

### Recunoasterea de forme

#### Momente Hu

- Metoda este invariantă la translație, rotație și scalare.
- Descriptorul cuprinde 7 momente:

$$\nu_1 = u_{20} + u_{02}$$

$$\nu_2 = (u_{20} - u_{02})^2 + 4u_{11}^2$$

$$\nu_3 = (u_{30} - 3u_{12})^2 + (3u_{12} - u_{03})^2$$

$$\nu_4 = (u_{30} + u_{12})^2 + (u_{21} + u_{03})^2$$

[M. K. Hu '62]

## II. Detectia formelor

### Recunoasterea de forme

#### Momente Hu

$$v_5 = (u_{30} - 3u_{12})(u_{30} + u_{12}) \left[ (u_{30} + u_{12})^2 - 3(u_{21} + u_{03})^2 \right] \\ + (3u_{21} - u_{03})(u_{21} + u_{03}) \left[ 3(u_{30} + u_{12})^2 - (u_{21} + u_{03})^2 \right]$$

$$v_6 = (u_{20} - u_{02}) \left[ (u_{30} + u_{12})^2 - (u_{21} - u_{03})^2 \right] \\ + 4u_{11}(u_{30} + u_{12})(u_{21} + u_{03})$$

$$v_7 = (3u_{21} - u_{03})(u_{30} + u_{12}) \left[ (u_{30} + u_{12})^2 - 3(u_{30} + u_{12})^2 \right] \\ + (u_{30} - 3u_{12})(u_{21} + u_{03}) \left[ 3(u_{30} + u_{12})^2 - (u_{21} + u_{03})^2 \right]$$

[M. K. Hu '62]

## II. Detectia formelor

### Recunoasterea de forme

#### Momente Zernike

Momentele Zernike au fost propuse pentru prima dată de către Teague și utilizează teoria polinoamelor ortogonale Zernike.

Un polinom tipic Zernike este exprimat de către formula:

$$V_{nm}(x, y) = V_{nm}(r \cos\theta, r \sin\theta) = R_{nm}(r) \exp(jm\theta)$$

unde  $R$  este baza radială ortogonală:

$$R_{nm}(r) = \sum_{s=0}^{(n-|m|)/2} (-1)^s \frac{(n-s)!}{s! \times \left(\frac{n+|m|}{2} - s\right)! \times \left(\frac{n-|m|}{2} - s\right)!} r^{n-2s}$$

[H.S. Kim '03]

## II. Detectia formelor

### Recunoasterea de forme

#### Momente Zernike

Momentele Zernike se calculeaza cu formula:

$$A_{nm} = \frac{n+1}{\pi} \sum_x \sum_y f(x, y) V_{nm}^*(\rho, \theta), x^2 + y^2 \leq 1$$

#### Avantaje:

- momentele Zernike sunt invariante la rotații și robuste la zgomot;
- prezintă o redundanță scăzută deoarece baza este ortogonală.

[H.S. Kim '03]

## **II. Detectia formelor**

### **Recunoasterea de forme**

#### **Aproximare poligonală**

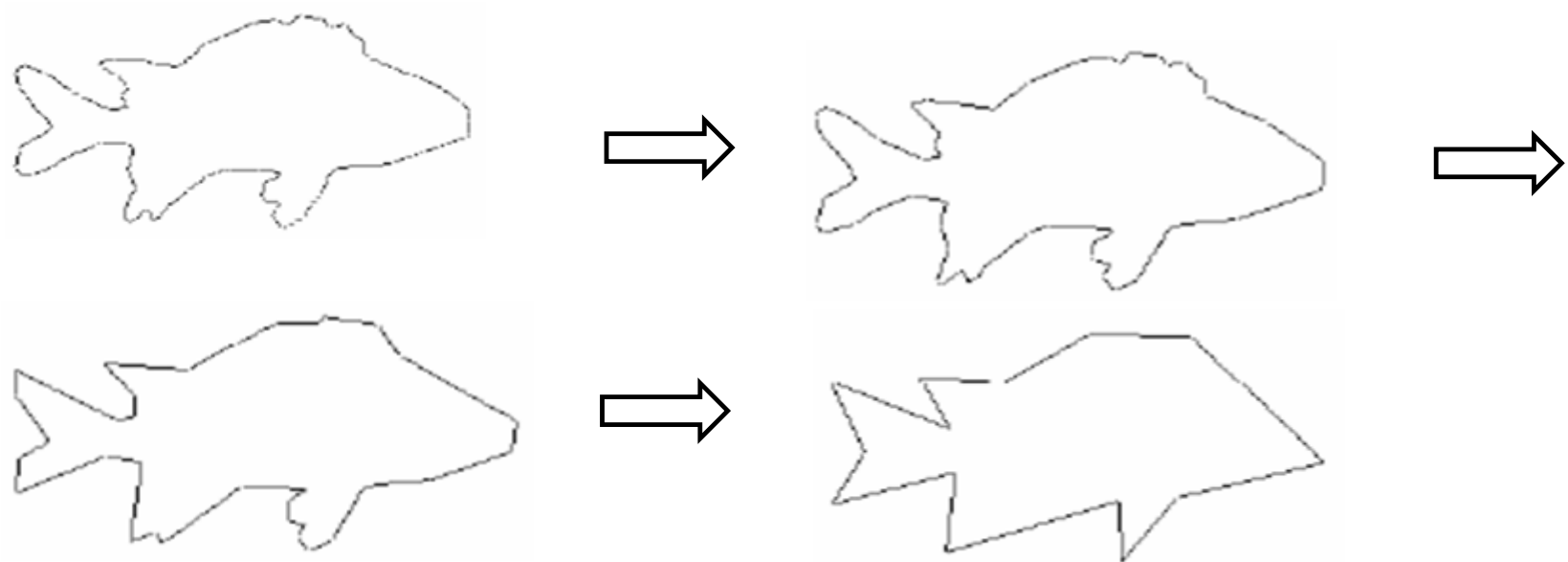
- Ideea principală a algoritmului constă în reprezentarea siluetei printr-un set de segmente de dreaptă;
- Rând pe rând, prin utilizarea de algoritmi de aproximare se elimină formele redundante;
- Metoda caută punctele de contur și le elimină pe cele ale căror eroare pătratică are o valoare minimă;
- Avantaje:
  - ✓ se elimină zgromotul atașat formei;
  - ✓ se simplifică forma.

## II. Detectia formelor

### Recunoasterea de forme

#### Aproximare poligonală

- Rând pe rând, prin utilizarea de algoritmi de aproximare se elimină formele redundante;

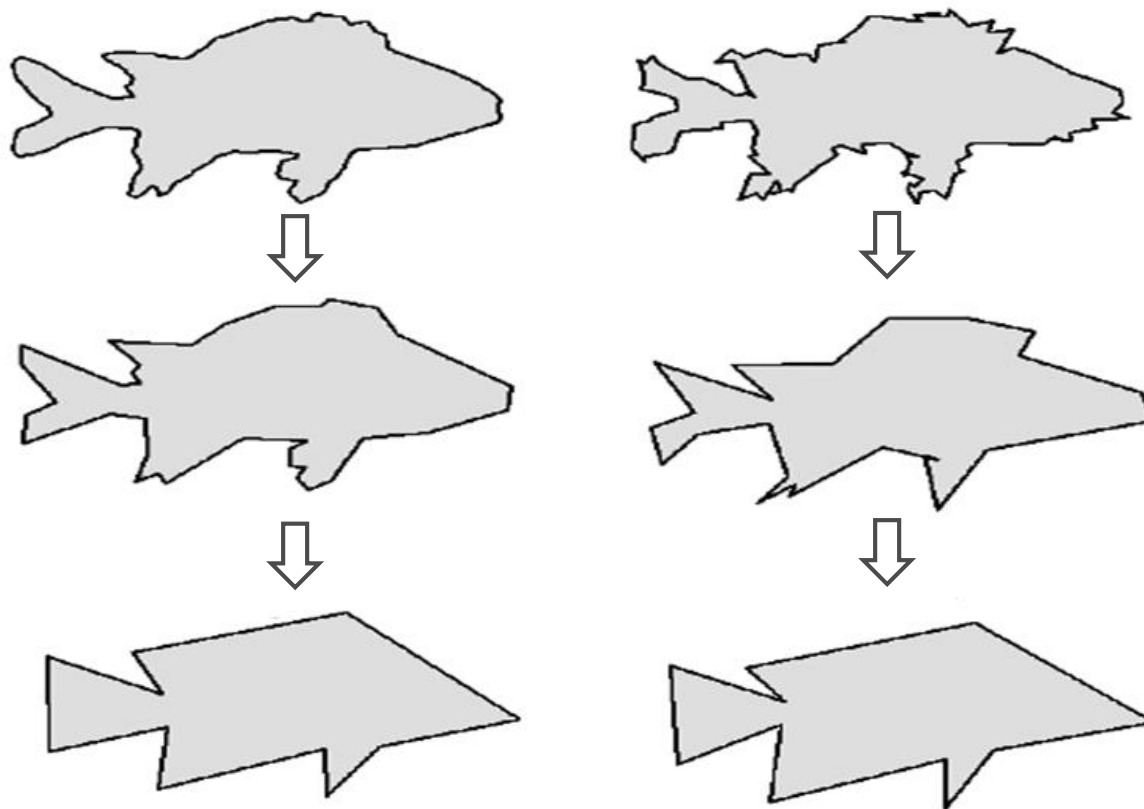


[J. Latecki '02]

## II. Detectia formelor

### Recunoasterea de forme

Aproximarea poligonală – compararea a două forme



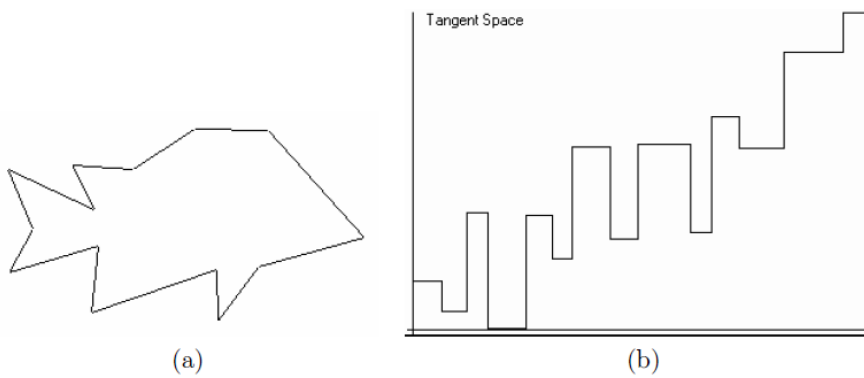
[J. Latecki '02]

## II. Detectia formelor

### Recunoasterea de forme

#### Aproximarea poligonală – compararea a două forme

- Procesul încetează atunci când valoarea parametrului  $k$  este mai mare decât un prag ales;
- Metoda evoluției curbei pleacă de la premiza că formele au diverse distorsiuni, iar acestea trebuie înlăturate printr-un proces de netezire;
- Netezirea depinde foarte mult și de alegerea pragului de șlefuire. În final, fiecare poligon este reprezentat ca o funcție tangențială (tangenta unghiului format de axa orizontală și segmentul de dreaptă):

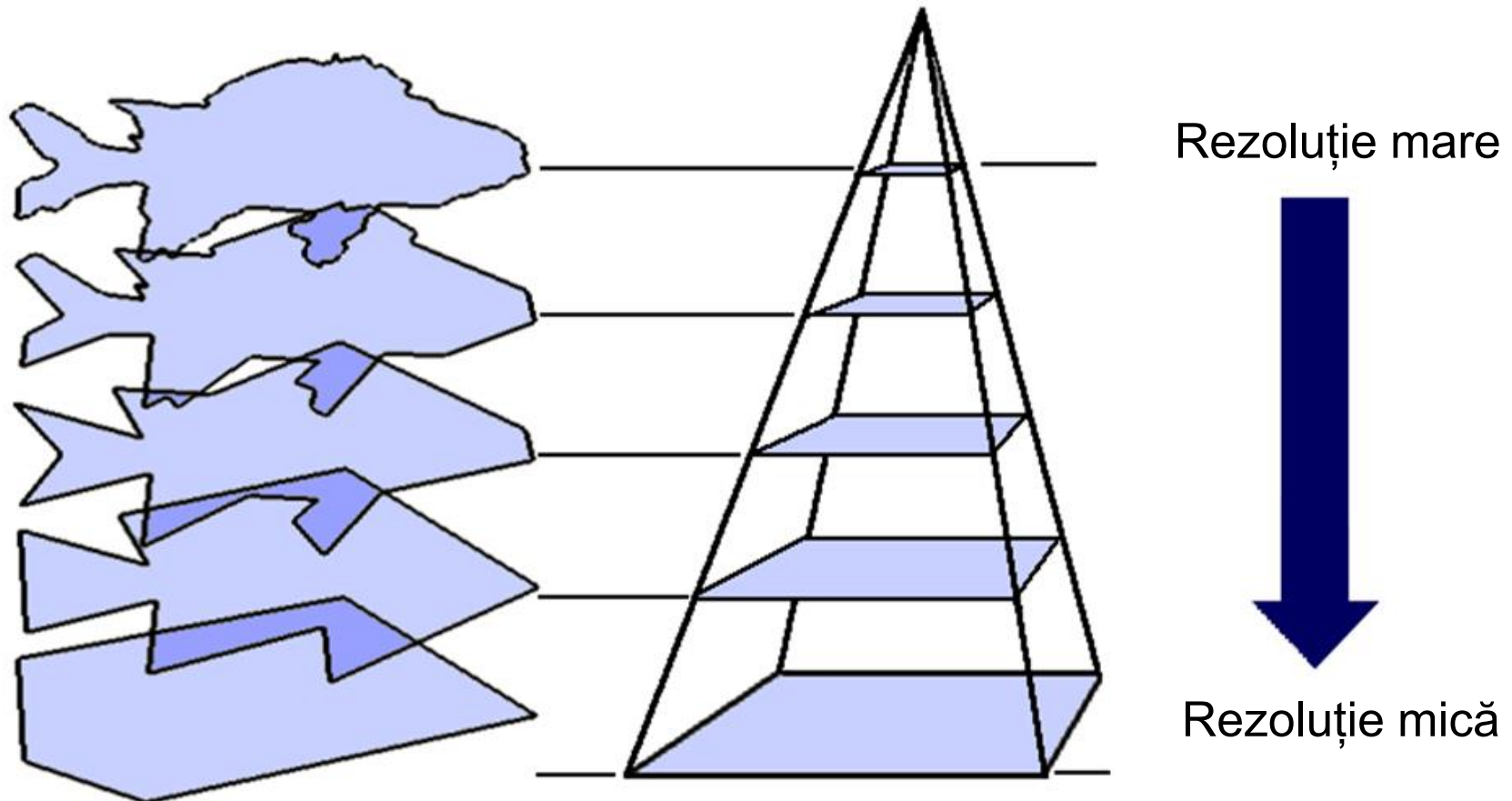


[J. Latecki '02]

## II. Detectia formelor

### Recunoasterea de forme

Aproximarea poligonală – piramide de rezoluție

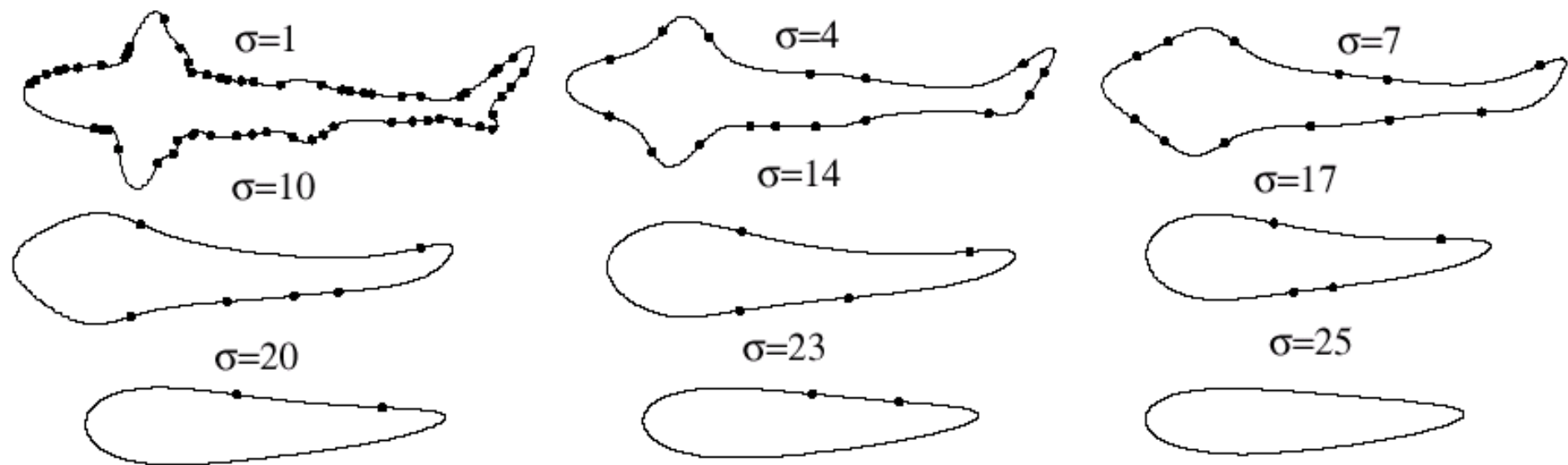


[J. Latecki '02]

## II. Detectia formelor

### Recunoasterea de forme

#### Descriptori MPEG7 - Curvature Scale Space



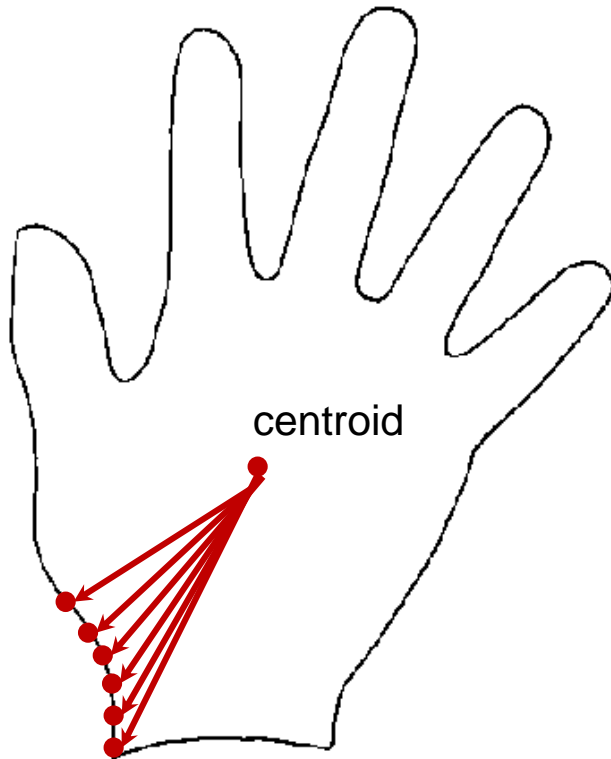
[F. Mokhtarian '99]

## II. Detectia formelor

### Recunoasterea de forme

#### Descriptori de contur

- Se selectează conturul și se parcurge în sensul acelor de ceasornic;

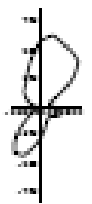


## II. Detectia formelor

### Recunoasterea de forme

#### Descriptori de contur

- Histograme de orientare utilizând vectorii obținuți pe conturul mâinii.
- Recunoaște 10 gesturi în realtime.



#### Avantaje

- Viteză

#### Dezavantaje

- Putere mică de discriminare

[Freeman '94]

## II. Detectia formelor

### Recunoasterea de forme

#### Descriptori Fourier de contur

- Descriptorii Fourier de contur sunt obtinuți prin aplicarea transformatei Fourier asupra punctelor aflate pe conturul obiectelor.
- Algoritmul de calcul al descriptorului conține următorii pași:
  - ✓ se obțin coordonatele de contur ale obiectelor;
  - ✓ se calculează coordonatele centroidului acelui obiect și apoi distanța dintre acesta și contur, utilizând distanța euclidiană:

$$r(t) = ([x(t) - x_c]^2 + [y(t) - y_c]^2)^{1/2}$$

unde  $t = 0, 1, \dots N-1$ , iar  $x_c = \frac{1}{N} \sum_{t=0}^{N-1} x(t)$  și  $y_c = \frac{1}{N} \sum_{t=0}^{N-1} y(t)$

[D. Zhang '02]

## II. Detectia formelor

### Recunoasterea de forme

#### Descriptori Fourier de contur

- se aplică transformata Fourier 1D asupra semnalului  $r(t)$ :

$$a_n = \frac{1}{N} \sum_{t=0}^{N-1} r(t) \exp\left(\frac{-2j\pi nt}{N}\right), n = 0, 1, \dots, N-1$$

- se calculează magnitudinea coeficienților Fourieri:  $\{A_0, A_1, \dots, A_n\}$
- vectorul descriptor va fi format din următoarele valori:

$$\left\{ \frac{A_1}{A_0}, \frac{A_2}{A_0}, \dots, \frac{A_n}{A_0} \right\}$$

[D. Zhang '02]

## II. Detectia formelor

### Recunoasterea de forme

#### Descriptori Fourier de contur

##### **Avantaje:**

- Cost computațional redus;
- Performanță ridicată.

##### **Dezavantaje:**

- Generează erori atunci când conturul nu este închis;
- Sensibil la zgomot.

[D. Zhang '02]

## II. Detectia formelor

### Detectia mainii dupa forma

#### Concluzii

Utilizarea algoritmilor de detectie a mainii dupa forma are o serie de **avantaje**:

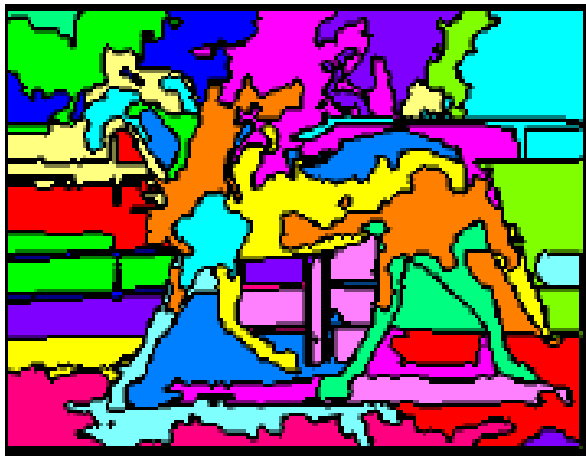
- Cost computațional redus;
- Algoritmii existenți sunt simpli și invariante la diferite probleme:
  - diferențe de scală,
  - rotații,
  - deformări.

## II. Detectia formelor

### Detectia mainii dupa forma

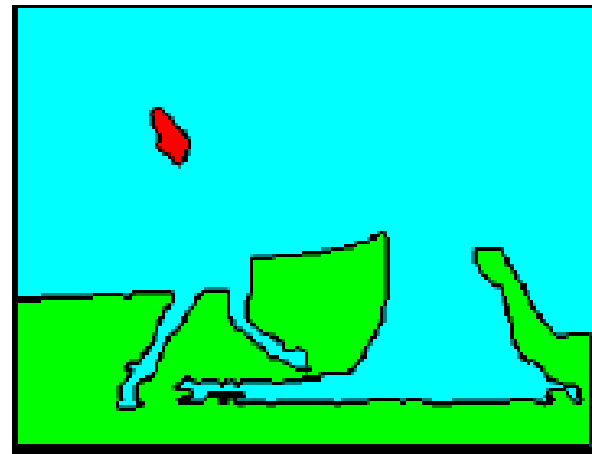
și dezavantaje:

- Performanța este dependentă de algoritmul de segmentare;



**Supra-segmentare**

(descompunerea imaginii în mai multe elemente decât este necesar)

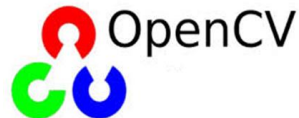


**Sub-segmentare**

(descompunerea imaginii în mai puține elemente)

## II. Detectia formelor Implementari

Momente centrate



Momente Hu



Momente Zernike

**Mahotas** (biblioteca Python)

Descriptori Fourier  
de contur



## II. Detectia formelor

# Demo

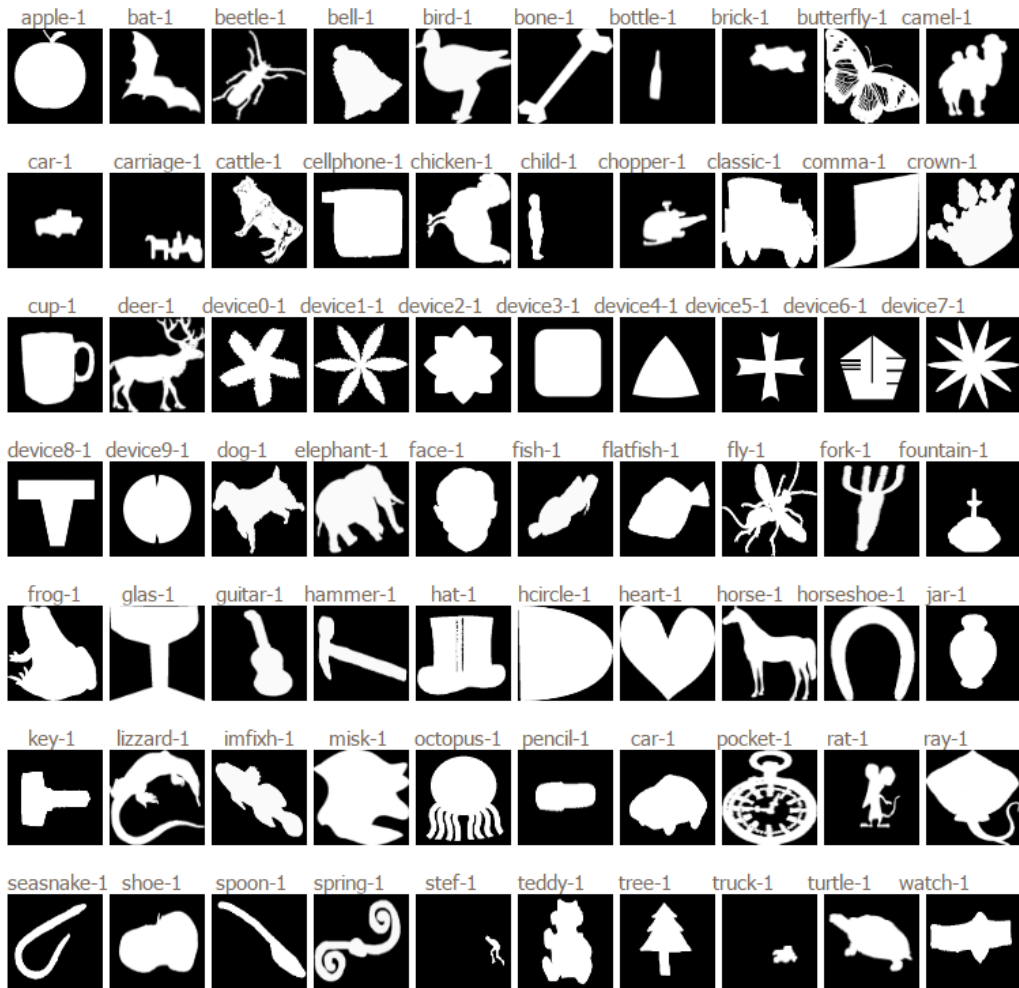
[<https://github.com/imironica/IVOM-Demo>]

## II. Detectia formelor

### Detectia mainii dupa forma

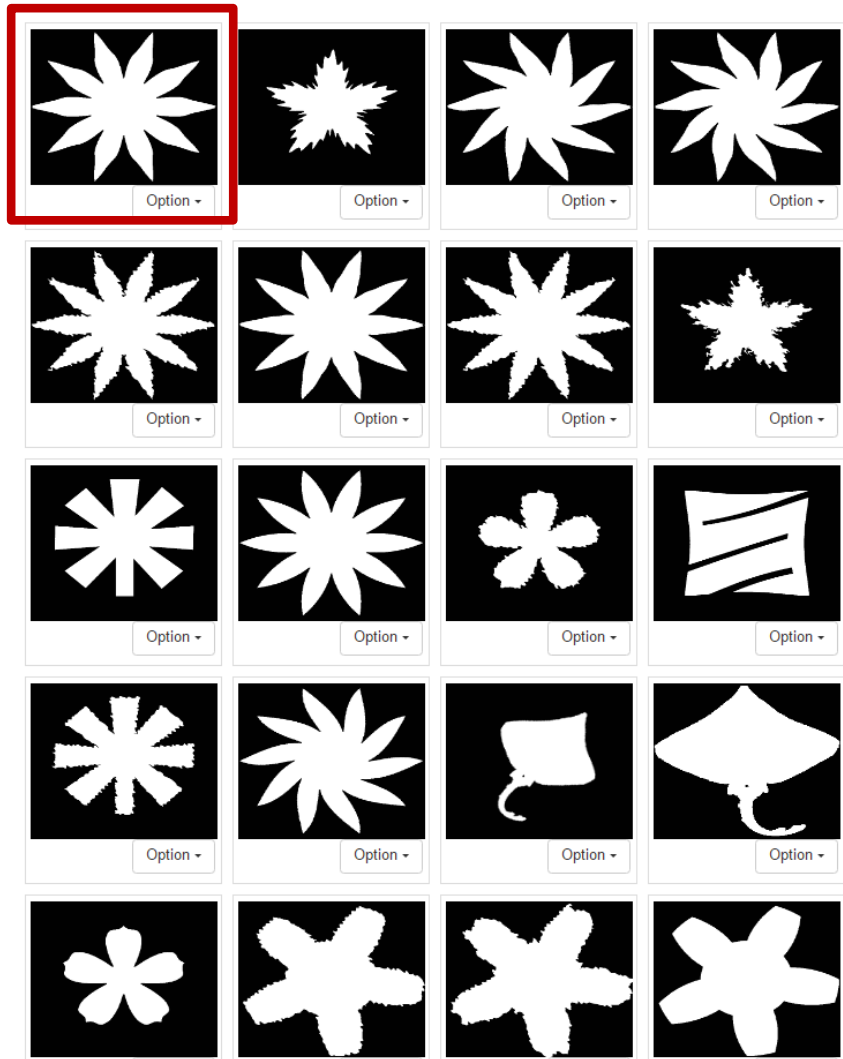
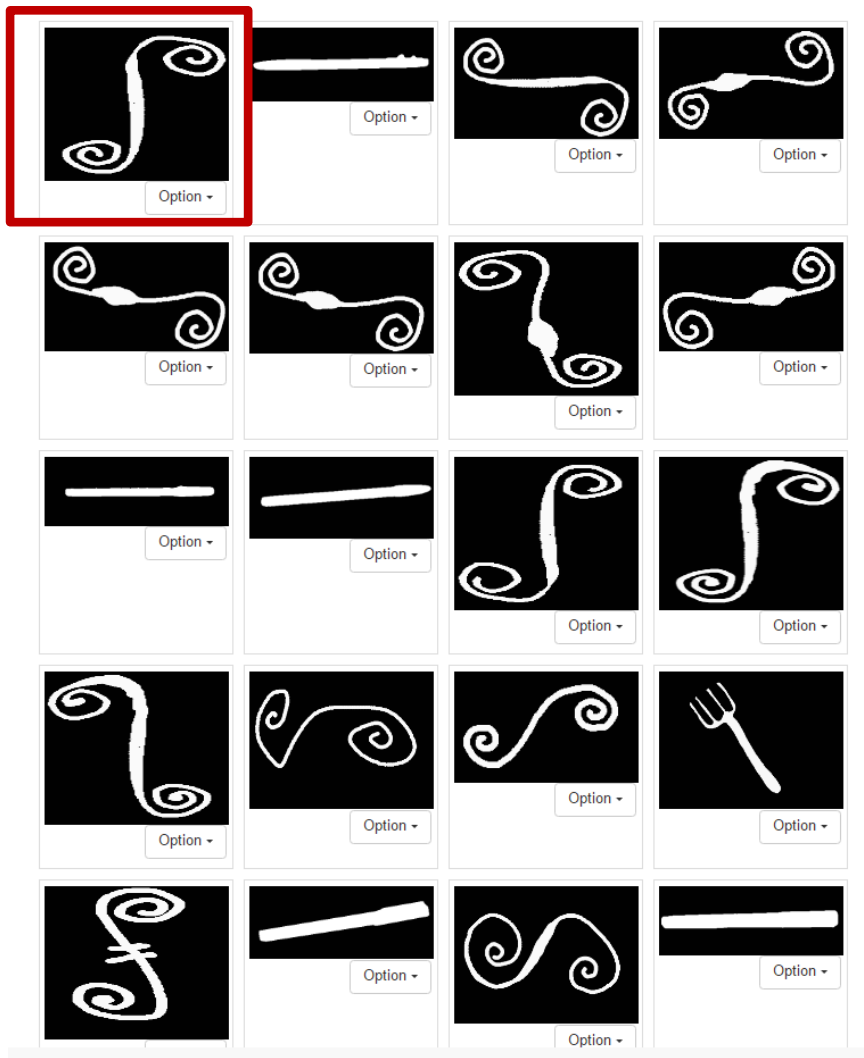
#### Testare

Se poate utiliza baza de date  
MPEG 7 Shape matching;



[<http://www.dabi.temple.edu/~shape/MPEG7/dataset.html>]

## II. Detectia formelor

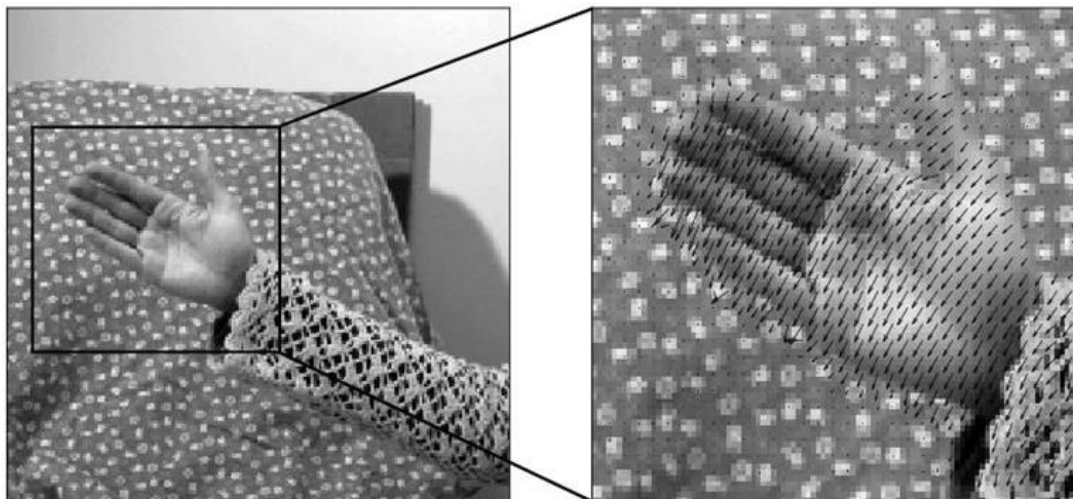


# Detectia mișcării

## II. Detectia formelor

### Detectia miscarii

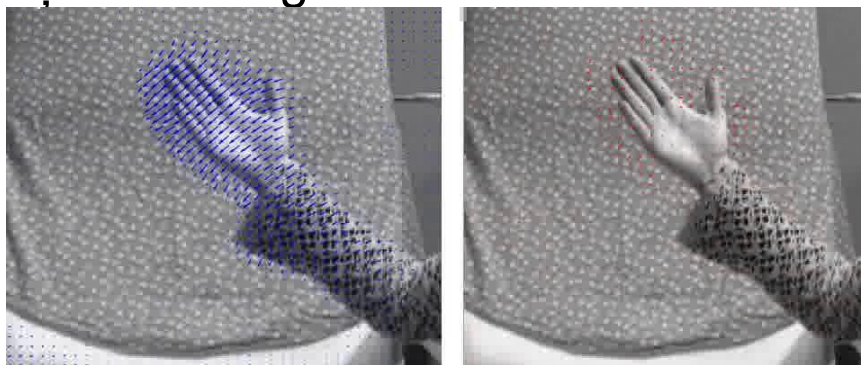
- Aceste metode presupun că mișcarea mâinii este singura mișcare majoră care se generează în scenă, aşadar extragerea acesteia va determina și poziția mâinii;
- ex: În **[Q. Yuan '95]**, se presupune că mișcarea mâinii este cea mai mare parte a mișcării din cameră, schimbările fiind mult mai frecvente decât cele generate de către haine, față și fundal.



## II. Detectia formelor

### Detectia miscarii

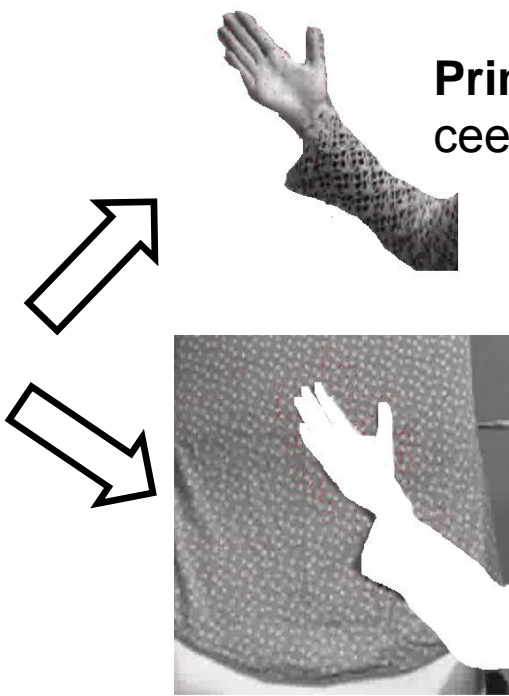
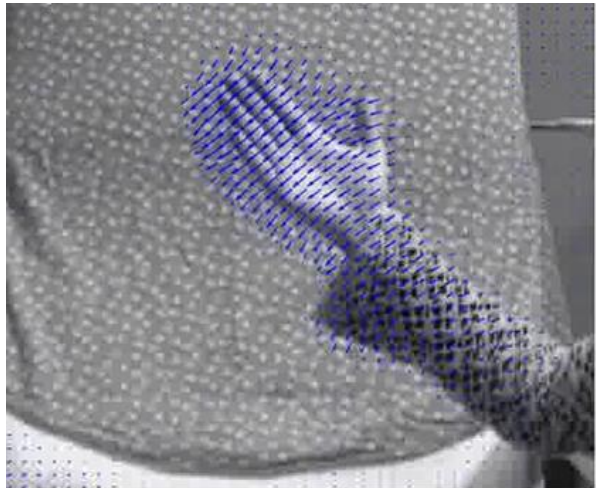
- În unele metode, informația de mișcare este combinată cu informația vizuală (culoare și formă);
- Ex: în **[R. Cutler '98, J. Martin '98]** se utilizează informația de mișcare pentru a distinge mâinile de alte obiecte similare cu pielea (diferența de mișcare a pixelilor dintre două imagini succesive este foarte mică pentru pixelii de fundal). Aceștia au utilizat un prag fix / adaptiv pentru detectia mâinii.
- În cazul camerelor fixe problema se reduce la o problemă de estimare a fundalului și de extragere automată a obiectelor.



## II. Detectia formelor

### Detectia miscarii

#### Estimarea fundalului



**Prim plan (foreground)** – ceea ce se se modifică (obiect de interes)

**Fundal (background)** – ceea ce rămâne neschimbăt

- În cazul în care camera este fixă se poate presupune că fundalul va fi intotdeauna fix

## **II. Detectia formelor**

### **Detectia miscarii**

**Estimarea fundalului:**

#### **Avantaje**

- robustete:
  - schimbări de iluminare,
  - mișcări oscilatorii,
  - modificări ale geometriei.
- viteza ridicată de calcul (se vor face calcule doar pe regiunea de interes).

#### **Dezavantaje:**

- probleme cu camuflajul;
- fundalul nu poate fi estimat atunci când obiectele de interes nu se mai mișcă.

## **II. Detectia formelor**

### **Detectia miscarii**

**Estimarea fundalului:**

#### **Alte aplicatii**

- Securitate indoor / outdoor;
- Recunoastere de actiuni (ex: detectie de evenimente / infractiuni in timp real);
- Monitorizare trafic (determinare numar de vehicule / urmarire).

## **II. Detectia formelor**

### **Detectia miscarii**

#### **Estimarea fundalului**

##### **Metode nerecursive:**

- metode ce aplică diferența cadrelor succesive,
- metode cu aplicare de filtru median,
- metode statistice neparametrice.

##### **Metode recursive:**

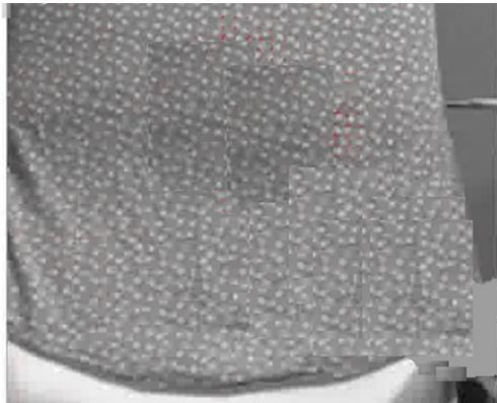
- metode ce utilizează o combinație de funcții gausiene,
- metode ce aplică algoritmul de medie alunecătoare.

## II. Detectia formelor

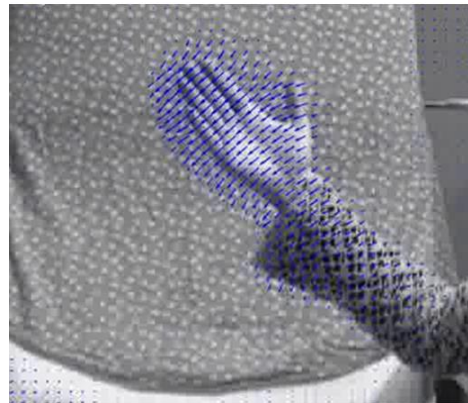
### Detectia miscarii

#### Estimarea fundalului

fundalul estimat la momentul  $k$  (notat cu  $B_k$ )



imaginea la momentul  $(k + 1) - I_{k+1}$



Obiectul extras la momentul  $k + 1$

fundalul estimat la momentul  $k$  (notat cu  $B_k$ )

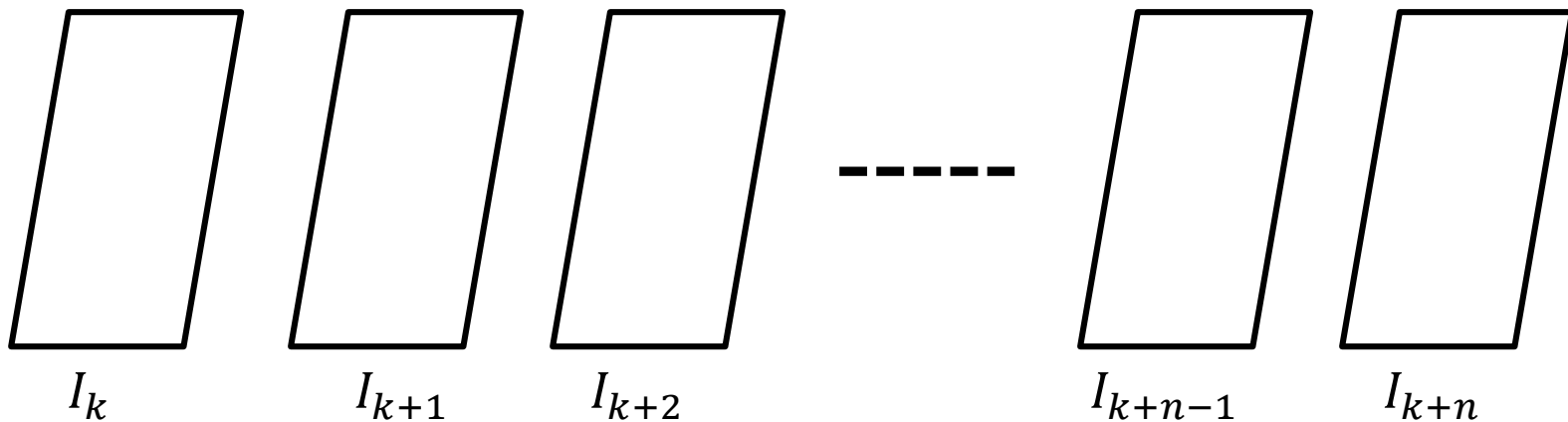
- Se estimează fundalul la momentul  $I$ ;
- Se extrage fundalul la momentul  $k$ ;
- Se aplică un algoritm de detecție a obiectelor aflate în mișcare la momentul  $k+1$

## II. Detectia formelor

### Detectia miscarii

Estimarea fundalului

Diferenta cadrelor succesive



$B_{k+1} = I_k$  - se presupune că primul cadru conține doar informație de fundal

$$d_{k,k+1} = |I_{k+1} - B_k|$$

dacă  $d_{k,k+1}(n) > \tau$ , pixelul  $n(x,y)$  face parte din obiect.

## **II. Detectia formelor**

### **Detectia miscarii**

#### **Estimarea fundalului**

Demo disponibil la:

[https://github.com/imironica/IVOM-Demo/tree/master/IVOM\\_Demo/Motion%20detection](https://github.com/imironica/IVOM-Demo/tree/master/IVOM_Demo/Motion%20detection)

## II. Detectia formelor

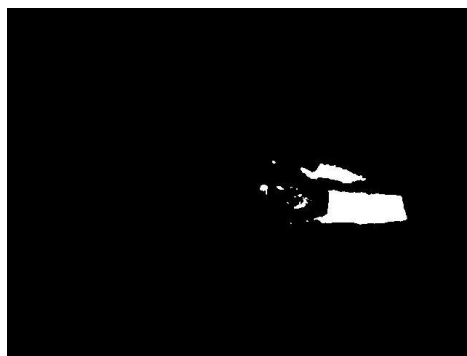
### Detectia miscarii

Estimarea fundalului

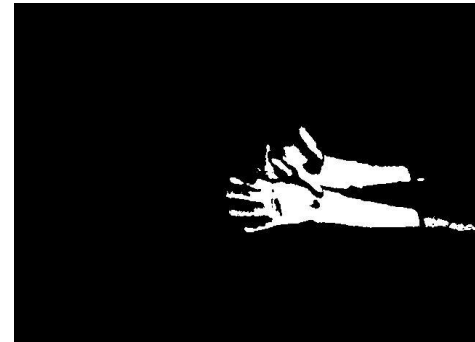
Diferenta cadrelor succesive



$$\tau = 20$$



$$\tau = 100$$



$$\tau = 50$$



$$\tau = 150$$

- acuratețea este dependentă de viteza de mișcare a obiectelor;
- viteze de deplasare mari necesită valori mai mari ale pragului.

## II. Detectia formelor

### Detectia miscarii

Estimarea fundalului

Aplicare filtru medie

$$B_k(n) = \frac{1}{N} \sum_{i=0}^{N-1} I_{k-i}(n)$$

unde:

- $B_k$  reprezinta fundalul estimat la momentul k,
- $n(x,y)$  reprezinta coordonatele pixelului curent,
- N reprezinta numarul de imagini preluate pentru mediare.

Valoarea lui N va fi proportionala cu viteza de deplasare a obiectelor din documentul video:

$$d_{k,k+1} = |I_{k+1} - B_k|$$

Daca  $d_{k,k+1}(n) > \tau$ , pixelul n(x,y) face parte din obiect.

## II. Detectia formelor

### Detectia miscarii

Estimarea fundalului

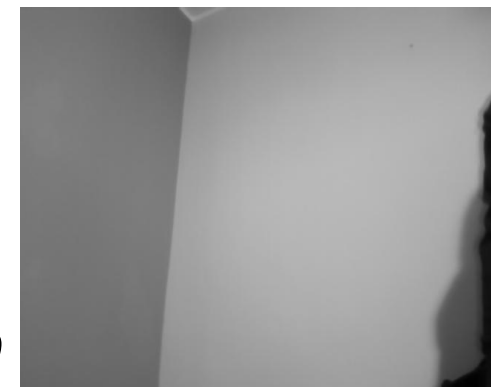
Aplicare filtru medie – exemplu vizual



$N = 50$



$N = 100$



## II. Detectia formelor

### Detectia miscarii

Estimarea fundalului

Medie alunecatoare

$$B_k(n) = \alpha I_k + (1 - \alpha)B_k$$

unde  $B_k$  reprezinta fundalul estimat la momentul  $k$ ,  $n(x,y)$  reprezinta coordonatele pixelului curent, iar  $\alpha$  este un parametru (rată de învățare).

$$d_{k,k+1} = |I_{k+1} - B_k|$$

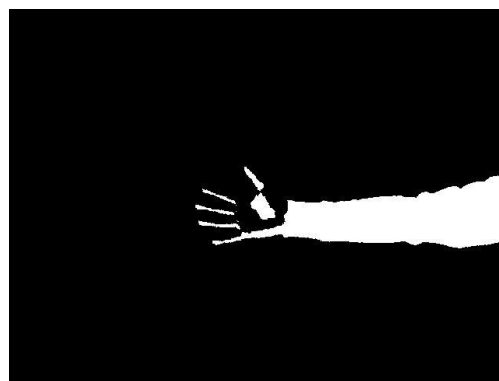
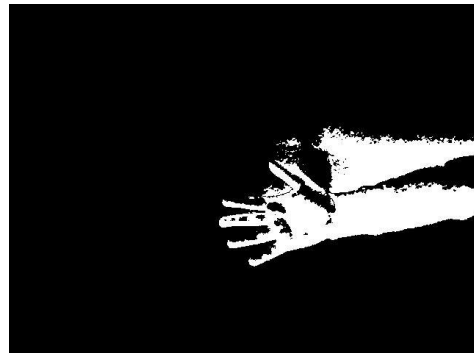
Daca  $d_{k,k+1}(n) > \tau$ , pixelul  $n(x,y)$  face parte din obiect.

## II. Detectia formelor

### Detectia miscarii

Estimarea fundalului

Aplicare filtru medie – exemplu vizual



## II. Detectia formelor

### Detectia miscarii

#### Estimarea fundalului

#### Funcția mediană

$$B_k(n) = \text{median}_{i \in \{1, \dots, N-1\}} (I_{k-i}(n))$$

unde  $B_k$ , reprezintă fundalul estimat la momentul  $k$ ,  $n(x,y)$  reprezintă coordonatele pixelului curent, iar  $\text{median}\{\cdot\}$  reprezintă operatorul care returnează valoarea mediană a unui vector, iar  $N$  reprezintă numărul de imagini preluate.

$$d_{k,k+1} = |I_{k+1} - B_k|$$

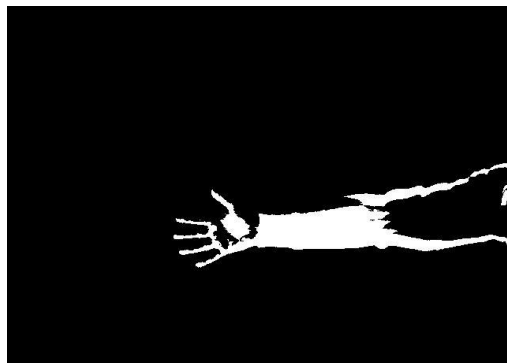
Dacă  $d_{k,k+1}(n) > \tau$ , pixelul  $n(x,y)$  face parte din obiect.

## II. Detectia formelor

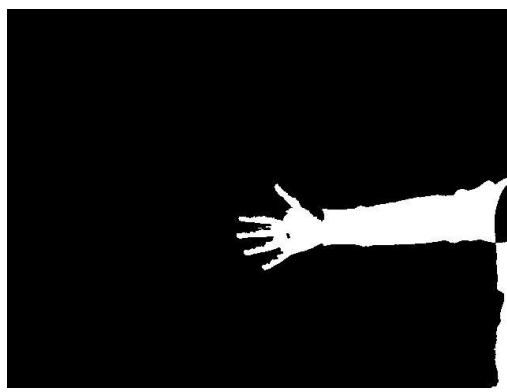
### Detectia miscarii

Estimarea fundalului

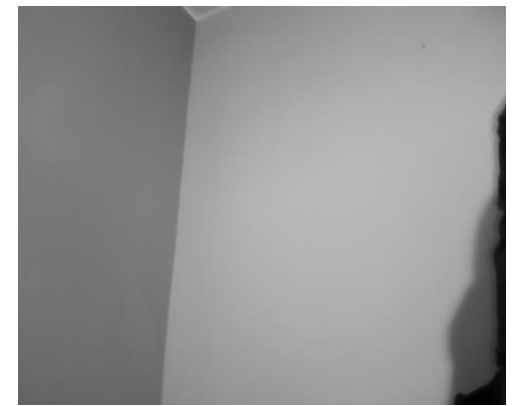
Funcția mediană



$N = 50$



$N = 150$



## **II. Detectia formelor**

### **Detectia miscarii**

#### **Estimarea fundalului**

##### **Avantaje**

- Extrem de simplu de implementat și folosit;
- Viteză ridicată;
- Sunt adaptate la schimbarea modelului de fundal.

##### **Dezavantaje**

- Acuratețea de clasificare este proporțională cu viteza de deplasare a obiectelor și framerate-ul filmului;
- Filtrele mediene și de medie necesită alocări relativ mari de memorie.

$$B_k(n) = \frac{N-k}{N} B_{k-1}(n) + \frac{1}{N} I_k(n)$$

## II. Detectia formelor

### Detectia miscarii

#### Estimarea fundalului

#### Alte dezavantaje

- Metoda este dependentă de aplicarea unui prag  $\tau$

$$d_{k,k+1} = |I_{k+1} - B_k| > \tau$$

- $\tau$  este global pentru toți pixelii;
- $\tau$  nu este dependent de timp:
  - viteza de deplasare a obiectelor diferă;
  - diferențe mari de iluminare de-a lungul timpului.
- pleacă de la ipoteza că nu există informații despre distribuția pixelilor de mișcare (considerați uniform distribuiți).

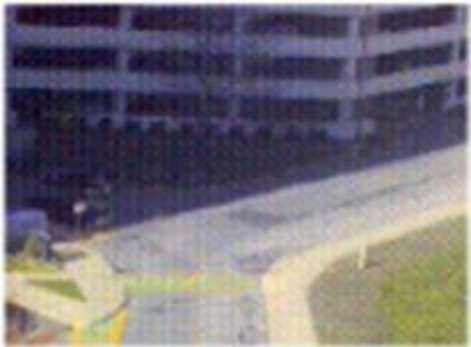
## II. Detectia formelor

### Detectia miscarii

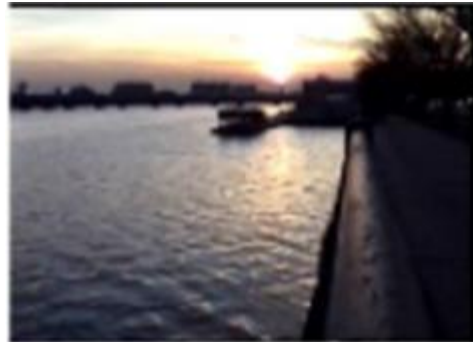
#### Estimarea fundalului - Metode adaptive de detectie a fundalului

- O metoda robusta de detectie a miscarii trebuie sa aiba in vedere:

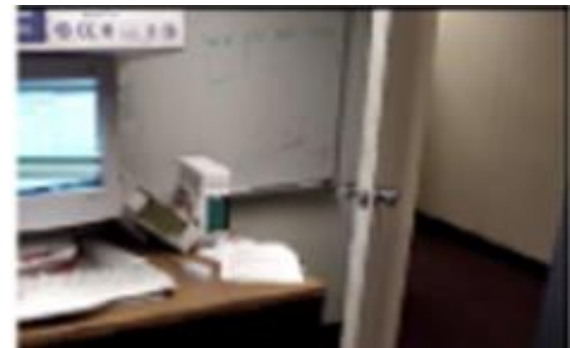
Schimbari majore  
de iluminare



Schimbari haotice ale  
iluminarii fundalului



Schimbari ale  
componentei fundalului  
(dispar obiecte)



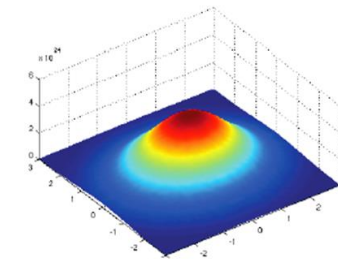
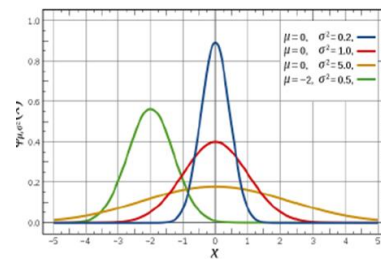
## II. Detectia formelor

### Detectia miscarii

#### Estimarea fundalului - Metode adaptive de detectie a fundalului

Utilizare a distributiei gausiene – fiecare pixel este caracterizat de o functie de densitate de probabilitate (pdf)

$$\mathcal{N}(x|\mu, \sigma^2) = \frac{1}{\sqrt{2\pi}\sigma} e^{-\frac{(x-\mu)^2}{2\sigma^2}}$$



Odată ce un pixel a devenit „obiect”, acesta poate deveni fundal doar dacă valorile de intensitate vor deveni similare cu cele în perioada în care au fost fundal.

Această metodă are câteva aspecte care trebuie luate în considerare:

- funcționează numai dacă toți pixelii au fost inițial clasificați ca pixeli de fundal;
- pixelii obiect trebuie inițializați ca și pixeli de fundal (va exista o perioadă de calibrare a funcțiilor gausiene).

## II. Detectia formelor

### Detectia miscarii

#### Estimarea fundalului - Metode adaptive de detectie a fundalului

- Functia pdf a fiecarui pixel este caracterizat de catre o medie si o varianță;
- Pentru a le initializa se va utiliza o vecinătate temporală în jurul fiecarui pixel;
- Deoarece iluminarea se va schimba de-a lungul timpului, media și varianța trebuie modificate la intervale de timp prestabilite.

## II. Detectia formelor

### Detectia miscarii

#### Estimarea fundalului - Metode adaptive de detectie a fundalului

##### Schemă algoritm

- Valorile fiecărui pixel sunt modelate de o combinație adaptivă de gausiene:
  - De ce combinație? (un pixel poate fi reprezentat de o combinație de suprafete).
  - De ce adaptivă? (condițiile de iluminare se pot schimba).
- La fiecare iterație pentru fiecare pixel se calculează probabilitatea ca acesta să aparțină fundalului;
- Ceilalți pixeli sunt clasificați ca și obiecte;
- Deoarece iluminarea se va schimba de-a lungul timpului, media și varianța trebuie modificate la intervale de timp prestabilite.

## **II. Detectia formelor**

### **Detectia miscarii**

#### **Estimarea fundalului - Metode adaptive de detectie a fundalului**

##### **Avantaje**

- Un prag adaptiv este calculat pentru fiecare pixel;
- Aceste praguri se schimbă în timp;
- Obiectele care răman statice pot deveni parte din fundal.

##### **Dezavantaje**

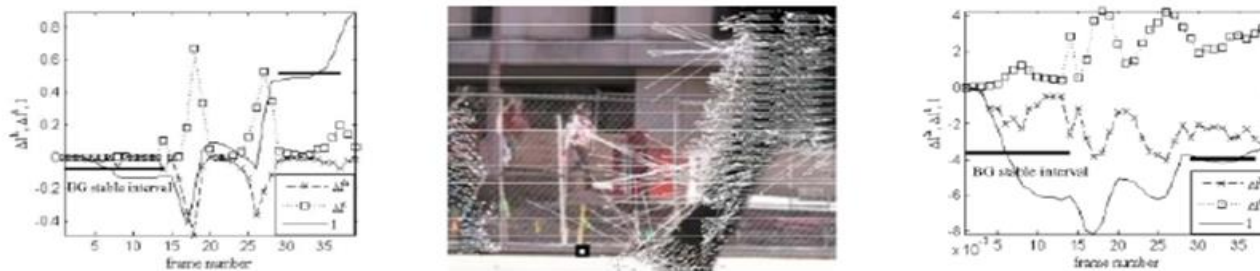
- Nu pot fi tratate cazurile în care sunt schimbări bruse de iluminare;
- Initializarea tuturor pixelilor ca suprafață de fundal;
- Un număr mare de parametri care trebuie selectați în mod intelligent.

# II. Modelarea gesturilor mâinii

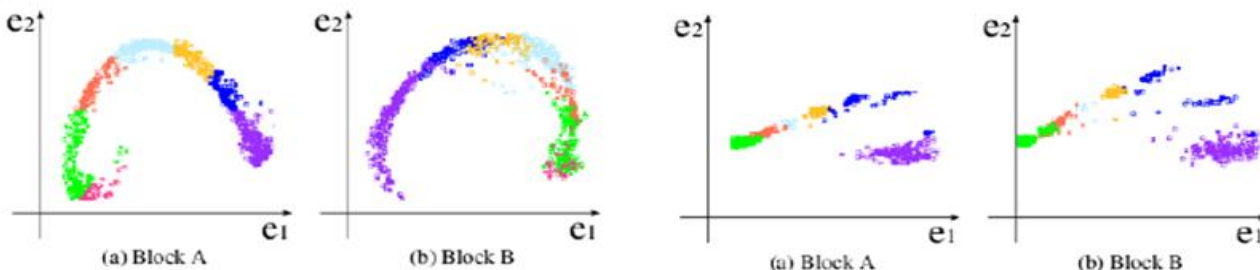
## Detectia miscarii

### Alte articole relevante in literatura

- ▶ Chen & Aggarwal: The likelihood of a pixel being covered or uncovered is decided by the relative coordinates of optical flow vector vertices in its neighborhood.



- ▶ Oliver et al.: “Eigenbackgrounds” and its variations.
- ▶ Seki et al.: Image variations at neighboring image blocks have strong correlation.



# II. Modelarea gesturilor mâinii

## Detectia miscarii

### Referinte bibliografice

- M. Piccardi, "Background subtraction techniques: a review". IEEE International Conference on Systems, Man and Cybernetics 4. pp. 3099–3104. doi:10.1109/icsmc.2004.1400815, 2004.
- B. Tameroy (29 Septembrie, 2009). "Background Subtraction – Lecture Notes". University of Texas at Austin.
- Brajesh Patel, Neelam Patel, Motion Detection based on multi-frame video under surveillance systems. Vol. 12, 2012.
- Y. Benerezeth; B. Emile; H. Laurent; C. Rosenberger (December 2008). "Review and evaluation of commonly-implemented background subtraction algorithms". 19th International Conference on Pattern Recognition. pp. 1–4. doi:10.1109/ICPR.2008.4760998, 2008.
- C. Stauffer, W. E. L. Grimson (August 1999). "Adaptive background mixture models for real-time tracking". IEEE Computer Society Conference on Computer Vision and Pattern Recognition 2. pp. 246–252. doi:10.1109/CVPR.1999.784637, 1999.

## **II. Detectia formelor**

### **Detectia miscarii**

#### **Estimarea fundalului - Concluzii**

- Metodele simple de aproximare a fundalului, precum simpla diferență a cadrelor, funcția medie, alunecătoare și mediană sunt foarte rapide;
- Totuși, deoarece sunt dependente de un prag global acestea nu sunt suficient de adaptate la probleme reale;
- Metodele adaptate pot manipula probleme mai complicate, ca de exemplu fundalurile complexe și schimbări ale fundalului pe perioade lungi de timp cât și mișcări repetitive.

## II. Detectia formelor

### Detectia miscarii

In mod traditional, analiza miscarii globale este efectuata cu ajutorul tehniciilor de detectie a fluxului optic.

Pentru estimarea acestuia, de obicei se admit anumite simplificari ale problemei:

- Consistență a iluminării,
- Corerență spațială,
- Consistență temporală.

Principiul clasic de estimare a fluxului optic constă în determinarea deplasării unor pixeli sau a unui bloc de pixeli, între două imagini succesive ale secvenței, pe baza minimizării variației intensității acestora.

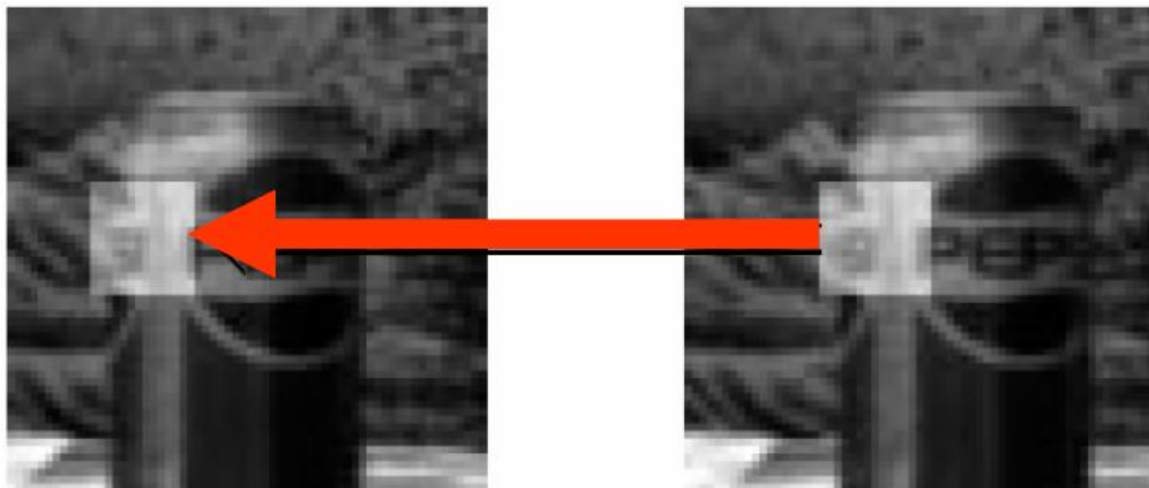
## II. Detectia formelor

### Detectia miscarii

#### Presupuneri pentru simplificarea problemei

(1) Consistență a iluminării:

- se consideră faptul că intensitatea luminoasă a fiecărui pixel rămâne constantă de-a lungul traectoriei mișcării sau se modifică într-un mod predictibil;

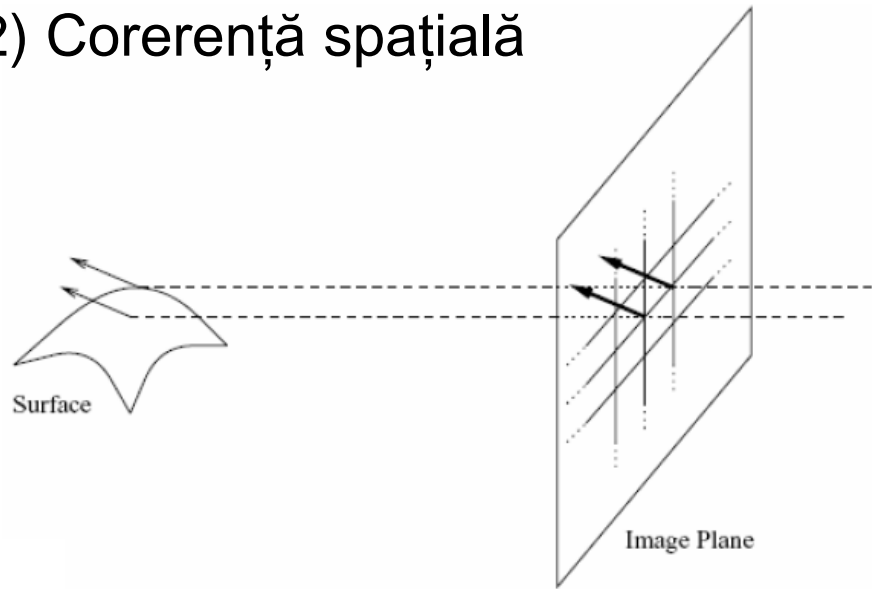


## II. Detectia formelor

### Detectia miscarii

Presupuneri pentru simplificarea problemei

(2) Coherenta spatiala



- Punctele vecine din scenă care aparțin aceleiași suprafețe au în principiu aceeași mișcare.

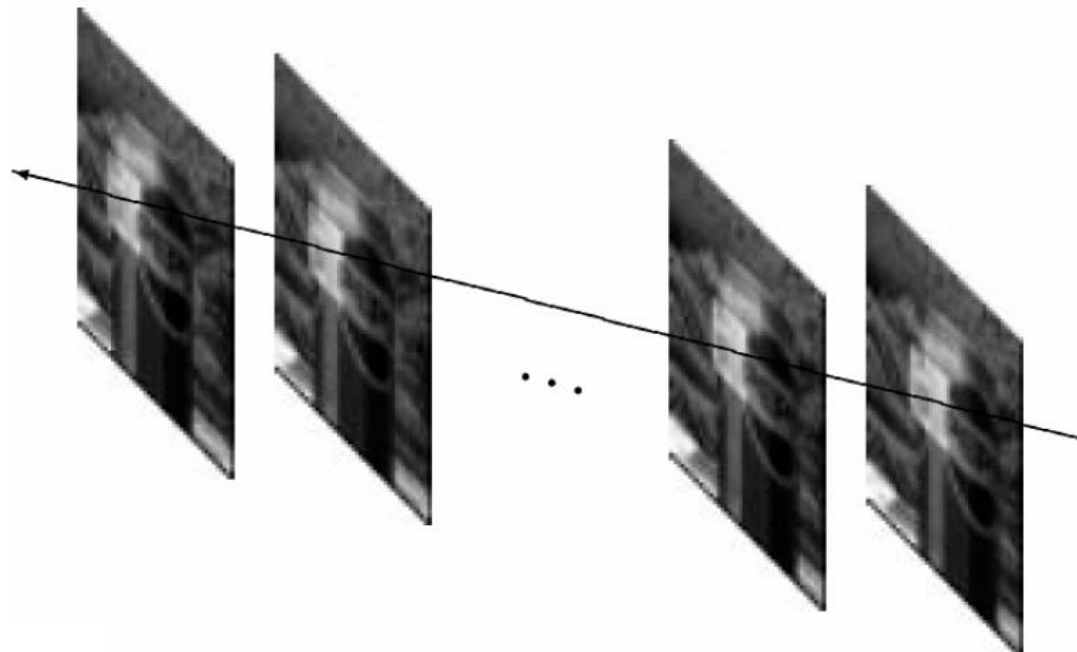
## II. Detectia formelor

### Detectia miscarii

#### Presupuneri pentru simplificarea problemei

##### (3) Consistență temporală

- mișcarea este lină, graduală, obiectele deplasându-se încet de la un cadru la altul (25 fps).



## II. Detectia formelor

### Detectia miscarii

#### Fluxul optic

Principiul clasic de estimare a fluxului optic constă în determinarea deplasării unor pixeli sau a unui bloc de pixeli, între două imagini succesive ale secvenței, pe baza minimizării variației intensității acestora.

Pentru a exprima matematic această ipoteză, se utilizează ecuația de diferență dintre imaginile deplasate („Displaced Frame Difference” - DFD), și anume între momentele la care se estimează fluxul optic  $t$  și  $t + \Delta t$ :

$$DFD = I(x + d_x, y + d_y, t + \Delta t) - I(x, y, t)$$

unde  $(x, y)$  reprezintă poziția pixelului sau a blocului de pixeli în imaginea analizată,  $(d_x, d_y)$  este vectorul de deplasare între momentele  $t$  și  $t + \Delta t$ , iar  $I(x, y, t)$  reprezintă funcția de intensitate la poziția  $(x, y)$  în momentul  $t$ .

## II. Detectia formelor

### Detectia miscarii

#### Calculul fluxului optic

Fie  $\vec{r} = (d_x, d_y)$ , ecuatie devine:

$$DFD(\vec{r}, \vec{d}, \Delta t) = I(\vec{r} + \vec{d}, t + \Delta t) - I(\vec{r}, t)$$

Consideram imaginile ca fiind functii continue si putem aplica o descompunere in serie Taylor (ordin 1),

$$I(\vec{r} + \vec{d}, t + \Delta t) = I(\vec{r}, t) + \frac{\partial I(\vec{r}, t)}{\partial x} dx + \frac{\partial I(\vec{r}, t)}{\partial y} dy + \frac{\partial I(\vec{r}, t)}{\partial t} + \dots$$

Inlocuind in relatie anterioara, obtinem:

$$DFD(\vec{r}, \vec{d}, \Delta t) = \frac{\partial I(\vec{r}, t)}{\partial x} dx + \frac{\partial I(\vec{r}, t)}{\partial y} dy + \frac{\partial I(\vec{r}, t)}{\partial t} dt$$

[Lucas-Kanade '81]

## II. Detectia formelor

### Detectia miscarii

#### Calculul fluxului optic

$$DFD(\vec{r}, \vec{d}, \Delta t) = \frac{\partial I(\vec{r}, t)}{\partial x} dx + \frac{\partial I(\vec{r}, t)}{\partial y} dy + \frac{\partial I(\vec{r}, t)}{\partial t} dt$$

minimizand DFD obtinem

$$\frac{\partial I(\vec{r}, t)}{\partial x} u + \frac{\partial I(\vec{r}, t)}{\partial y} v + \frac{\partial I(\vec{r}, t)}{\partial t} = 0$$

ecuatie fluxului optic

unde u si v definesc vectorul de deplasare din imagine

$$\frac{\partial I(\vec{r}, t)}{\partial x} u = \left( \frac{dx}{dt}, \frac{dy}{dt} \right)$$

[Lucas–Kanade '81]

## II. Detectia formelor

### Detectia miscarii

#### Calculul fluxului optic

$$\frac{\partial I(\vec{r},t)}{\partial x} u + \frac{\partial I(\vec{r},t)}{\partial y} v + \frac{\partial I(\vec{r},t)}{\partial t} = 0 \quad \text{ecuatiile fluxului optic}$$

**flux optic** = imaginea în care valoarea fiecărui pixel reprezintă estimarea proiecției vitezei de translație ce corespunde unui punct de pe suprafața obiectului ce se află în mișcare relativă în câmpul vizual al camerei video.

- mișcarea este estimată doar pe direcția gradientului spațial;
- este posibil ca fluxul optic să nu poată fi estimat în toate punctele.

[Lucas–Kanade '81]

## **II. Detectia formelor**

### **Detectia miscarii**

#### **Calculul fluxului optic**

- Calculul după şablon
- Metoda Lucas-Kanade

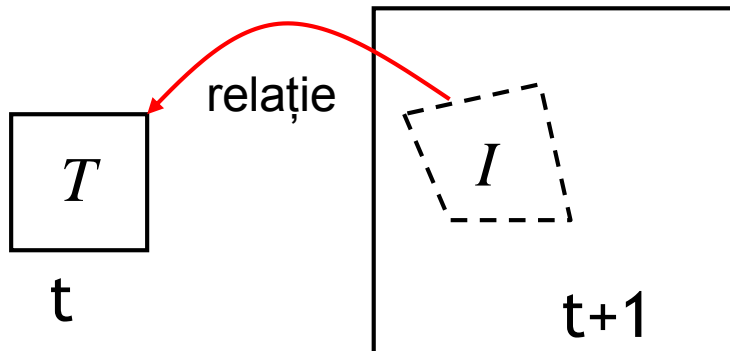
## II. Detectia formelor

### Detectia miscarii

#### Estimarea fluxului optic după şablon

**Scop:** găsirea legăturii între un template de imagine  $T(x)$  și o imagine  $I(x)$ :

- $I(x)$  și  $T(x)$  reprezintă două regiuni din cadru (de obicei de dimensiune  $5 \times 5$ );
- $T(x)$  face parte din cadrul de la momentul  $t$ ;
- $I(x)$  face parte din cadrul de la momentul  $t+1$ .



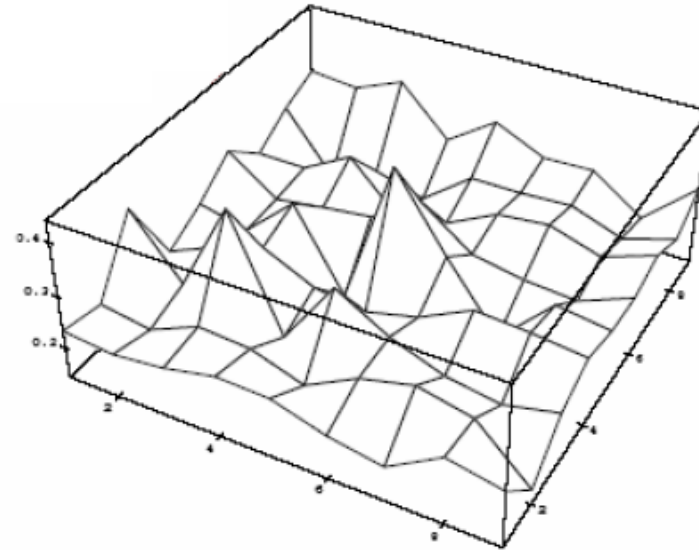
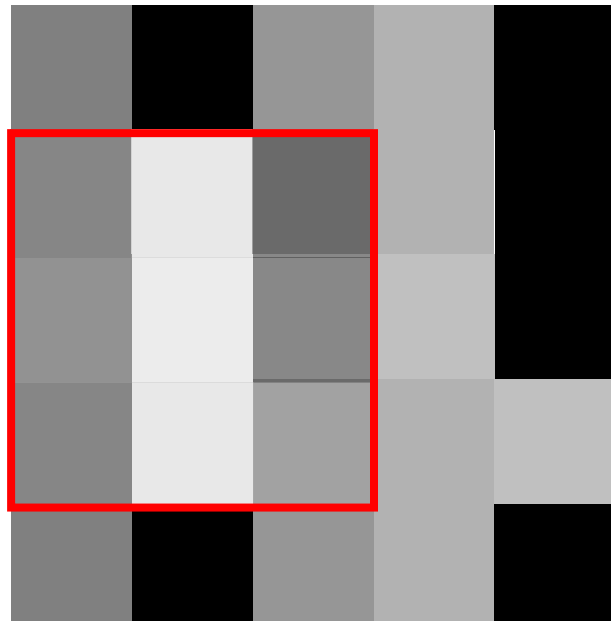
## II. Detectia formelor

### Detectia miscarii

#### Estimarea fluxului optic după şablon

- Pentru a găsi corespondentul fiecărei regiuni trebuie să se minimizeze valoarea absolută a erorii dintre şablonul  $T$  și regiunea corespondentă din cadrul următor:

$$E(u, v) = \sum_{x, y} (I(x + u, y + v) - T(x, y))$$



## II. Detectia formelor

### Detectia miscarii

#### Estimarea fluxului optic după şablon

##### Schema unui algoritm clasic

Pentru fiecare pixel  $(u, v)$

calculează  $E(u,v)$ ;

Alege  $(u, v)$  care minimizează  $E(u,v)$ ;

##### Dezavantaj:

- Nu este eficient din punct de vedere computaţional

## II. Detectia formelor

### Detectia miscarii

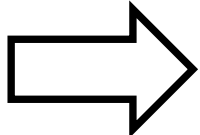
Estimarea fluxului optic după şablon

Cum se minimizează  $E(u,v)$ ?

Suma diferențelor absolute (SAD) – măsură a distanțelor dintre două blocuri

Şablon

2	5	5
4	0	7
7	5	9



Imagine căutată

2	7	5	8	6
1	7	4	2	7
8	4	6	8	5

## II. Detectia formelor

### Detectia miscarii

Estimarea fluxului optic după şablon

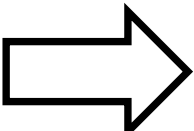
Cum se minimizează  $E(u,v)$ ?

Şablon

2	5	5
4	0	7
7	5	9

Imagine căutată

2	7	5	8	6
1	7	4	2	7
8	4	6	8	5



Stânga

0	2	0
3	7	3
1	1	3

Centru

5	0	3
3	4	5
3	1	1

Dreapta

3	3	1
0	2	0
1	3	4

SAD = 20

25

17

## **II. Detectia formelor**

### **Detectia miscarii**

#### **Reamintire: Metoda lui Newton (Metode Numerice)**

Metoda lui Newton este o metodă iterativă pentru a găsi rădăcinile unei ecuații diferențialabile (de ex: soluția ecuației  $f(x)=0$ ) în intervalul  $[a,b]$ .

## II. Detectia formelor

### Detectia miscarii

#### Reamintire: Metoda lui Newton (Metode Numerice)

Se presupune ca  $x_0$  este solutia initiala (cu eroare  $\varepsilon$ ).

Se utilizeaza formula lui Taylor:

$$f(x_0 + \varepsilon) = f(x_0) + f'(x_0)\varepsilon + \frac{1}{2}f''(x_0)\varepsilon^2 + \dots$$

Se face urmatoarea aproximare:

$$f(x_0 + \varepsilon) \approx f(x_0) + f'(x_0)\varepsilon$$

In final eroarea este egală cu:

$$\varepsilon_n = -\frac{f(x_n)}{f'(x_n)}$$

## II. Modelarea gesturilor mâinii

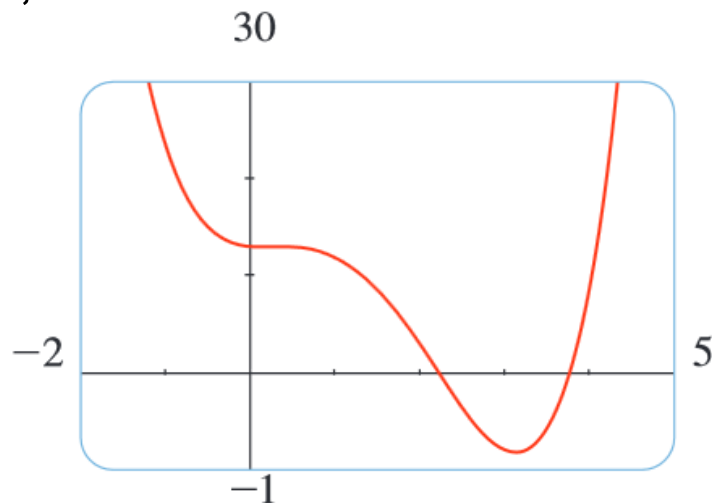
### Detectia miscarii

**Reamintire: Metoda lui Newton (Metode Numerice)**

Să se găsească soluțiile ecuației cu eroare mai mică de  $10^{-7}$  :

$$x^4 - 5x^3 + 4x^2 - x + 13 = 0$$

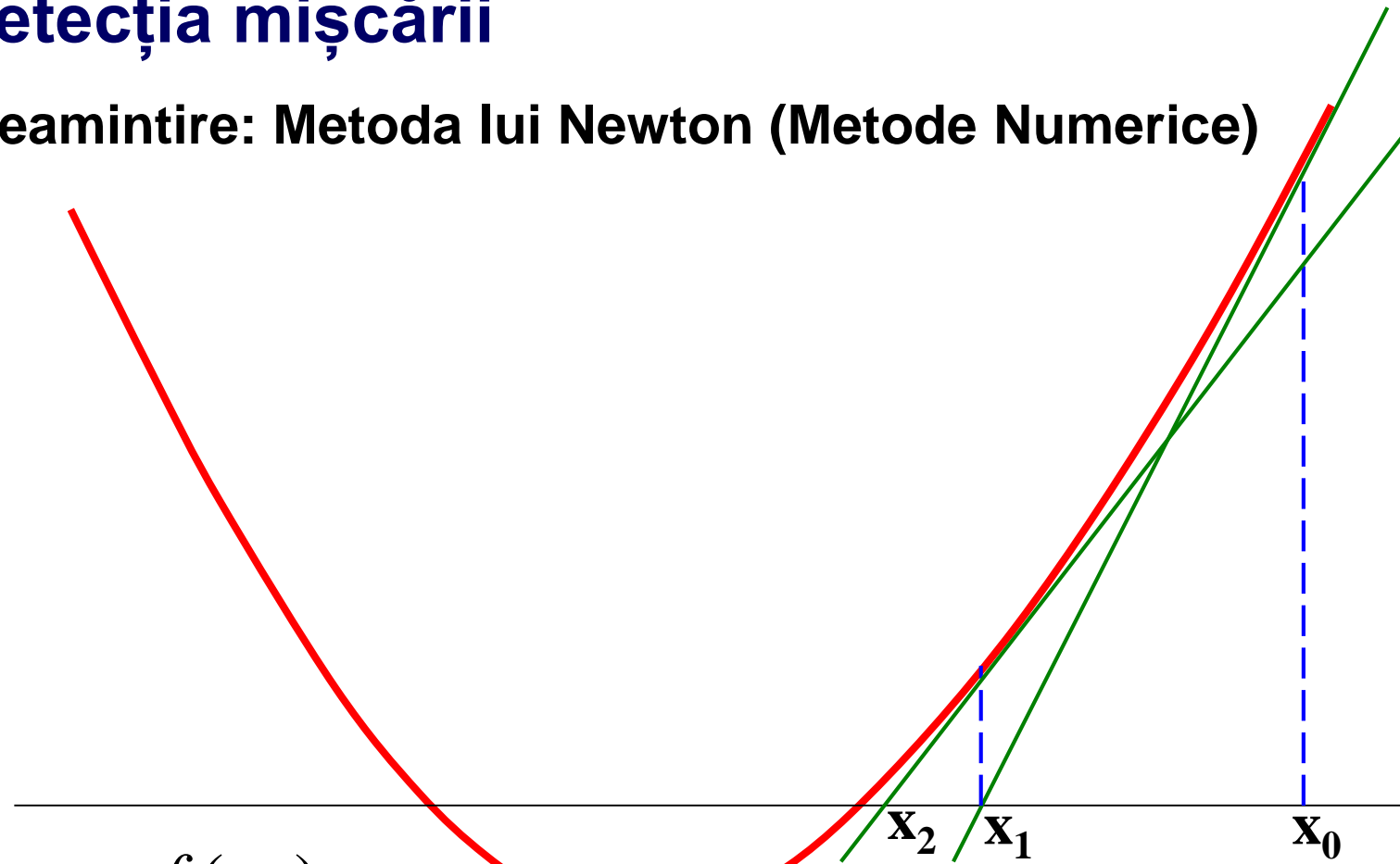
Se desenează graficul și se observă că soluțiile sunt în jurul valorilor 2,2 și 3,8:



## II. Detectia formelor

### Detectia miscarii

Reamintire: Metoda lui Newton (Metode Numerice)



$$\varepsilon_n = -\frac{f(x_n)}{f'(x_n)}$$

Geometric,  $(x_1, 0)$  este la intersectia cu axa  $x$  a tangentei functiei  $f$  in punctul  $(x_0)$ .

## II. Detectia formelor

### Detectia miscarii

**Reamintire: Metoda lui Newton (Metode Numerice)**

In final vom avea:

$$x_1 = x_0 - \frac{f(x_0)}{f'(x_0)}$$

Se va repeta pana cand  $x_{n+1} - x_n < eroare$ :

$$x_{n+1} = x_n - \frac{f(x_n)}{f'(x_n)}$$

## II. Modelarea gesturilor mâinii

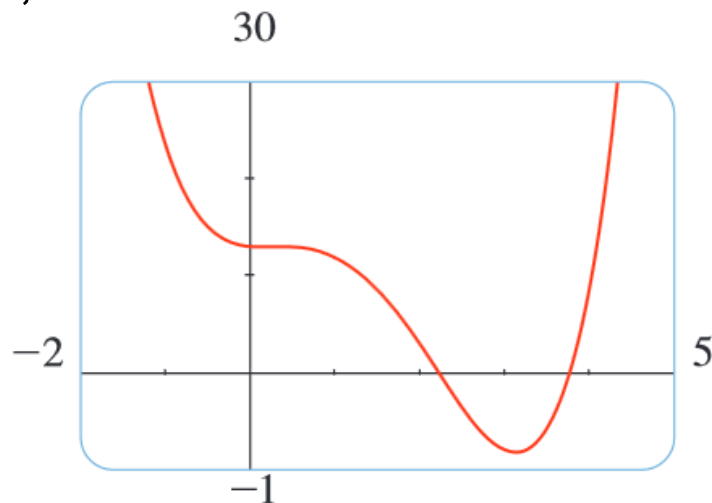
### Detectia miscarii

**Reamintire: Metoda lui Newton (Metode Numerice)**

Să se găsească soluțiile ecuației cu eroare mai mică de  $10^{-7}$  :

$$x^4 - 5x^3 + 4x^2 - x + 13 = 0$$

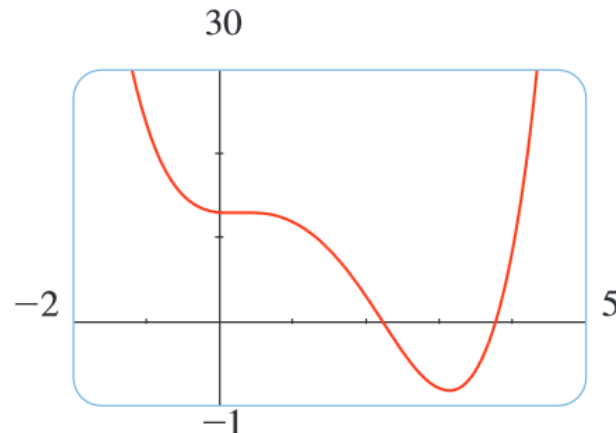
Se desenează graficul și se observă că soluțiile sunt în jurul valorilor 2,2 și 3,8:



## II. Modelarea gesturilor mâinii

### Detectia miscarii

Reamintire: Metoda lui Newton (Metode Numerice)



Se folosește metoda lui Newton:

$$x_{n+1} = x_n - \frac{x_n^4 - 5x_n^3 + 4x_n^2 - x_n + 13}{4x_n^3 - 15x_n^2 + 8x_n - 1}$$

Se vor obține următoarele soluții:

$$x_1 = 2.2$$

$$x_1 = 3.8$$

$$x_2 \approx 2.22577566$$

$$x_2 \approx 3.76551041$$

$$x_3 \approx 2.22578253$$

$$x_3 \approx 3.76419061$$

$$x_4 \approx 2.22578253$$

$$x_4 \approx 3.76418872$$

$$x_5 \approx 376418872$$

## II. Detectia formelor

### Detectia miscarii

#### Estimarea fluxului optic – Metoda Lucas-Kanade

- În computer vision, metoda Lucas–Kanade este des folosită pentru estimarea fluxului optic (încă reprezintă un standard);
- Metoda combină informația mai multor pixeli pentru rezolvarea ecuației fluxului optic;
- Utilizează metoda lui Newton de găsire a soluției;
- Este o metodă locală, însă mult mai puțin sensibilă la zgomot decât metodele anterioare;
- Fiind totuși o metodă locală, nu poate oferi întotdeauna informații despre fluxul optic în regiuni uniforme.

[Lucas–Kanade '81]

## II. Detectia formelor

### Detectia miscarii

#### Estimarea fluxului optic – Metoda Lucas-Kanade

$$E(u, v) = \sum_{x, y} (I(x + u, y + v) - T(x, y))^2$$

$$I(x + u, y + v) \approx I(x, y) + uI_x + vI_y$$

$$= \sum_{x, y} (I(x, y) - T(x, y) + uI_x + vI_y)^2$$

$$0 = \frac{\partial E}{\partial u} = \sum_{x, y} 2I_x (I(x, y) - T(x, y) + uI_x + vI_y)$$

$$0 = \frac{\partial E}{\partial v} = \sum_{x, y} 2I_y (I(x, y) - T(x, y) + uI_x + vI_y)$$

[Lucas–Kanade '81]

## II. Detectia formelor

### Detectia miscarii

#### Estimarea fluxului optic – Metoda Lucas-Kanade

$$0 = \frac{\partial E}{\partial u} = \sum_{x,y} 2I_x (I(x,y) - T(x,y) + uI_x + vI_y)$$

$$0 = \frac{\partial E}{\partial v} = \sum_{x,y} 2I_y (I(x,y) - T(x,y) + uI_x + vI_y)$$

$$\begin{array}{l} \rightarrow \\ \left\{ \begin{array}{l} \sum_{x,y} I_x^2 u + \sum_{x,y} I_x I_y v = \sum_{x,y} I_x (T(x,y) - I(x,y)) \\ \sum_{x,y} I_x I_y u + \sum_{x,y} I_y^2 v = \sum_{x,y} I_y (T(x,y) - I(x,y)) \end{array} \right. \end{array}$$

$$\begin{array}{l} \rightarrow \\ \left[ \begin{array}{cc} \sum_{x,y} I_x^2 & \sum_{x,y} I_x I_y \\ \sum_{x,y} I_x I_y & \sum_{x,y} I_y^2 \end{array} \right] \begin{bmatrix} u \\ v \end{bmatrix} = \begin{bmatrix} \sum_{x,y} I_x (T(x,y) - I(x,y)) \\ \sum_{x,y} I_y (T(x,y) - I(x,y)) \end{bmatrix} \end{array}$$

[Lucas–Kanade '81]

## II. Detectia formelor

### Detectia miscarii

#### Estimarea fluxului optic – Metoda Lucas-Kanade

$$\begin{bmatrix} I_x(p_1)[0] & I_y(p_1)[0] \\ I_x(p_1)[1] & I_y(p_1)[1] \\ I_x(p_1)[2] & I_y(p_1)[2] \\ \vdots & \vdots \\ I_x(p_{25})[0] & I_y(p_{25})[0] \\ I_x(p_{25})[1] & I_y(p_{25})[1] \\ I_x(p_{25})[2] & I_y(p_{25})[2] \end{bmatrix} \begin{bmatrix} u \\ v \end{bmatrix} = - \begin{bmatrix} I_t(p_1)[0] \\ I_t(p_1)[1] \\ I_t(p_1)[2] \\ \vdots \\ I_t(p_{25})[0] \\ I_t(p_{25})[1] \\ I_t(p_{25})[2] \end{bmatrix}$$

$A$   
75x2                       $d$   
                                2x1                       $b$   
                                75x1

[Lucas–Kanade '81]

## II. Detectia formelor

### Detectia miscarii

#### Algoritmul Lucas-Kanade

executa

calculeaza gradientul imaginilor  $I_x, I_y$

calculeaza eroarea  $T(x,y) - I(x,y)$

calculeaza matricea hessiană

rezolvă sistem liniar

$$(u, v) = (u, v) + (\Delta u, \Delta v)$$

până la convergență

$$\begin{bmatrix} \sum_{x,y} I_x^2 & \sum_{x,y} I_x I_y \\ \sum_{x,y} I_x I_y & \sum_{x,y} I_y^2 \end{bmatrix} \begin{bmatrix} u \\ v \end{bmatrix} = \begin{bmatrix} \sum_{x,y} I_x (T(x, y) - I(x, y)) \\ \sum_{x,y} I_y (T(x, y) - I(x, y)) \end{bmatrix}$$

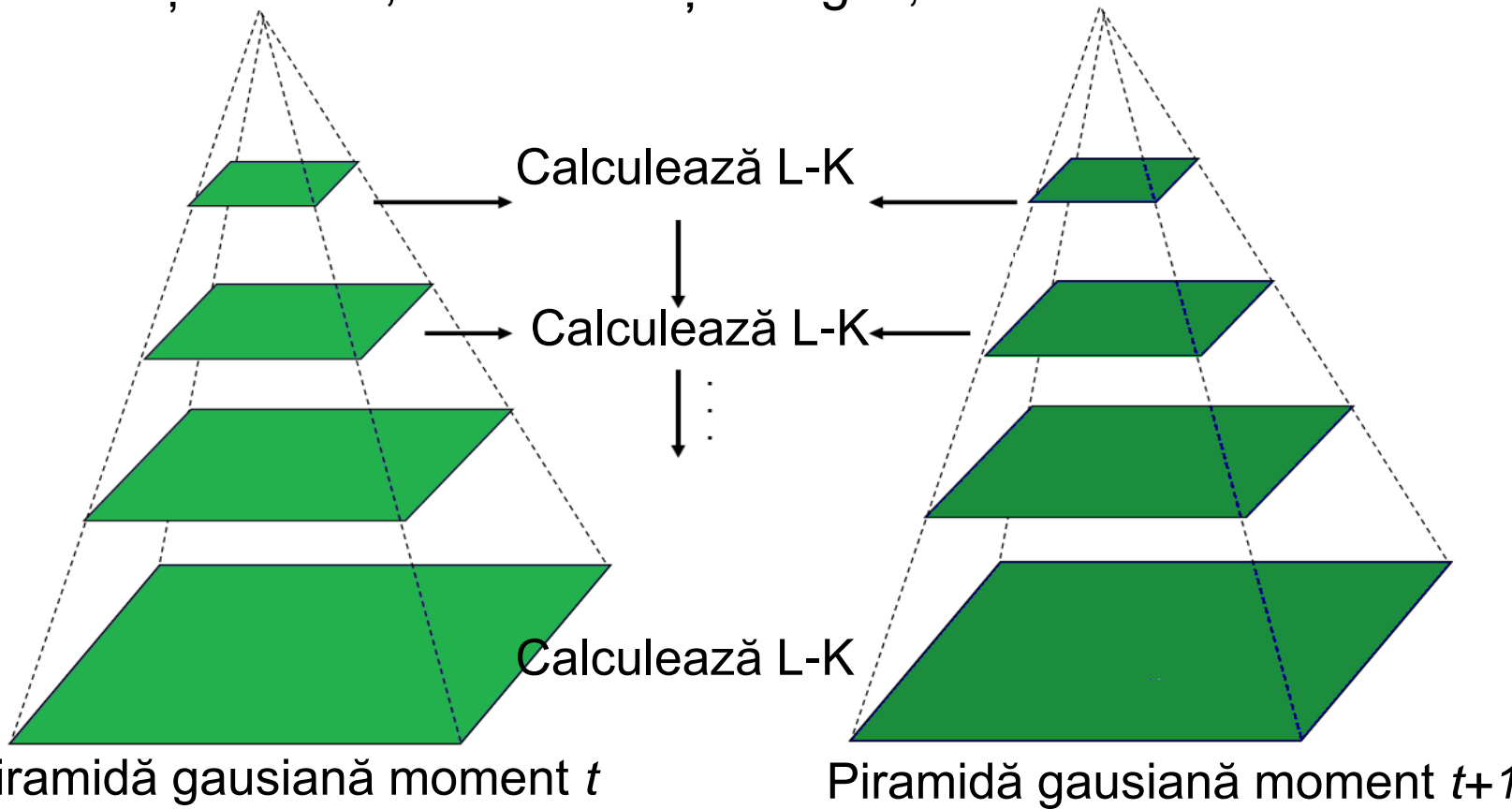
[Lucas-Kanade '81]

## II. Detectia formelor

### Detectia miscarii

#### Algoritmul Lucas-Kanade

- estimarea miscarii se face pentru mai multe reprezentari, de rezolutii diferite, ale aceleiasi imagini;



## II. Detectia formelor

### Detectia miscarii

#### Algoritmul Lucas-Kanade

Se gasesc implementari in:

- Matlab (in toolbox-ul de Computer Vision);
- C++ (OpenCV);
- Alte implementari cu optimizari pe procesor grafic (GPU):  
<http://www.cs.umd.edu/~ogale/download/code.html>
- C# - Emgu CV

etc.

## **II. Detectia formelor**

### **Detectia miscarii**

#### **Calculul fluxului optic**

Demo disponibil la:

[https://github.com/imironica/IVOM-Demo/tree/master/IVOM\\_Demo/Motion%20detection](https://github.com/imironica/IVOM-Demo/tree/master/IVOM_Demo/Motion%20detection)

## **II. Detectia formelor**

### **Detectia miscarii**

#### **Calculul fluxului optic**

Alți algoritmi

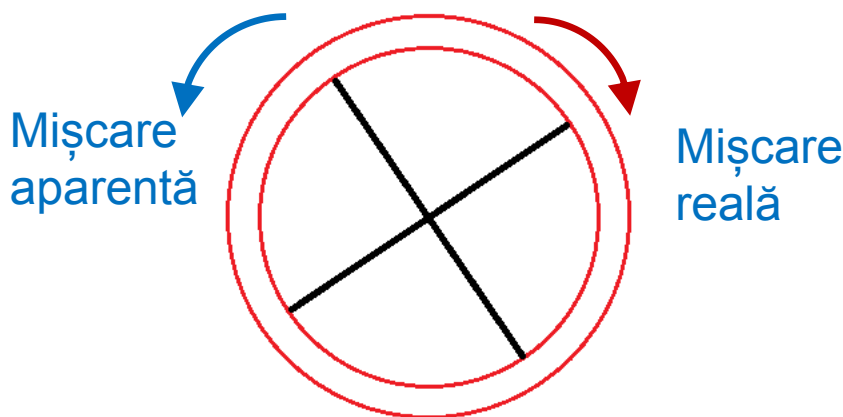
- [Algoritmul Horn–Schunck](#)
- [Algoritmul Buxton–Buxton](#)
- [Algoritmul Black–Jepson](#)

## II. Detectia formelor

### Detectia miscarii

#### Limitari in calculul fluxului optic

- *Problema estimării într-o fereastră:*
  - fluxul optic nu este unic determinat de informația locală din informația care se schimbă;
- *Problema corespondenței:*
  - pentru o mișcare de rotație mișcarea interpretată poate fi diferită de mișcarea adevărată



→ dacă viteza unghiulară  
a roții  $> \frac{\pi}{nr.spite} \cdot cadre / s$   
roata se va roti aparent  
invers;

## II. Detectia formelor

### Concluzii

- În funcție de aplicație și de presupunerile făcute, detectia mâinii și a gesturilor se poate efectua utilizând informația de culoare, formă și mișcare;
- De cele mai multe ori este utilă combinarea acestora (conțin informație complementară);
- Fiecare din metodele anterioare prezintă o serie de avantaje și dezavantaje. Din acest motiv este nevoie să se înțeleagă fiecare metodă pentru a se putea alege algoritmul cel mai ușor de adaptat la problema ce necesită rezolvare.



# Întrebări?

